

Gravitational Lensing - How to make dark matter visible

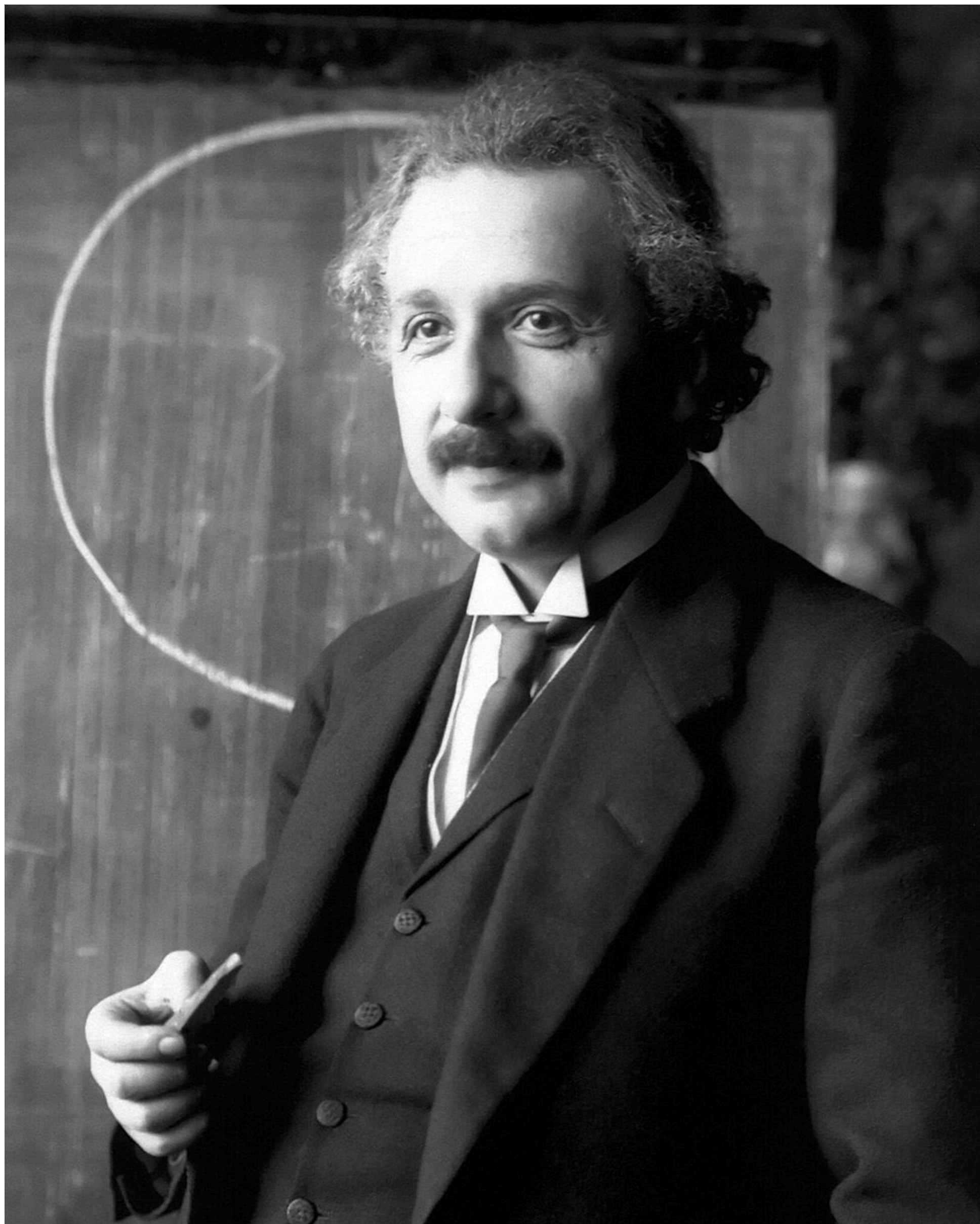
and what we learn about cosmology with this tool

Hendrik Hildebrandt, Ruhr University Bochum
“Crossing the Desert”, 15th October 2021



European Research Council
Established by the European Commission



**ANNALEN DER PHYSIK.**

VIERTE FOLGE. BAND 49.

**1. Die Grundlage
der allgemeinen Relativitätstheorie;
von A. Einstein.**

Die im nachfolgenden dargelegte Theorie bildet die denkbar weitgehendste Verallgemeinerung der heute allgemein als „Relativitätstheorie“ bezeichneten Theorie; die letztere nenne ich im folgenden zur Unterscheidung von der ersteren „spezielle Relativitätstheorie“ und setze sie als bekannt voraus. Die Verallgemeinerung der Relativitätstheorie wurde sehr erleichtert durch die Gestalt, welche der speziellen Relativitätstheorie durch Minkowski gegeben wurde, welcher Mathematiker zuerst die formale Gleichwertigkeit der räumlichen Koordinaten und der Zeitkoordinate klar erkannte und für den Aufbau der Theorie nutzbar machte. Die für die allgemeine Relativitätstheorie nötigen mathematischen Hilfsmittel lagen fertig bereit in dem „absoluten Differentialkalkül“, welcher auf den Forschungen von Gauss, Riemann und Christoffel über nichteuklidische Mannigfaltigkeiten ruht und von Ricci und Levi-Civita in ein System gebracht und bereits auf Probleme der theoretischen Physik angewendet wurde. Ich habe im Abschnitt B der vorliegenden Abhandlung alle für uns nötigen, bei dem Physiker nicht als bekannt vorauszusetzenden mathematischen Hilfsmittel in möglichst einfacher und durchsichtiger Weise entwickelt, so daß ein Studium mathematischer Literatur für das Verständnis der vorliegenden Abhandlung nicht erforderlich ist. Endlich sei an dieser Stelle dankbar meines Freundes, des Mathematikers Grossmann, gedacht, der mir durch seine Hilfe nicht nur das Studium der einschlägigen mathematischen Literatur ersparte, sondern mich auch beim Suchen nach den Feldgleichungen der Gravitation unterstützte.

$$G_{\mu\nu} = \frac{8\pi G}{c^4} T_{\mu\nu}$$

+ Robertson-Walker metric

=> evolving Universe (FLRW)

$$G_{\mu\nu} + \Lambda g_{\mu\nu} = \frac{8\pi G}{c^4} T_{\mu\nu}$$



$$v = H_0 D$$
$$H_0 \approx 70 \frac{\text{km}}{\text{s Mpc}}$$

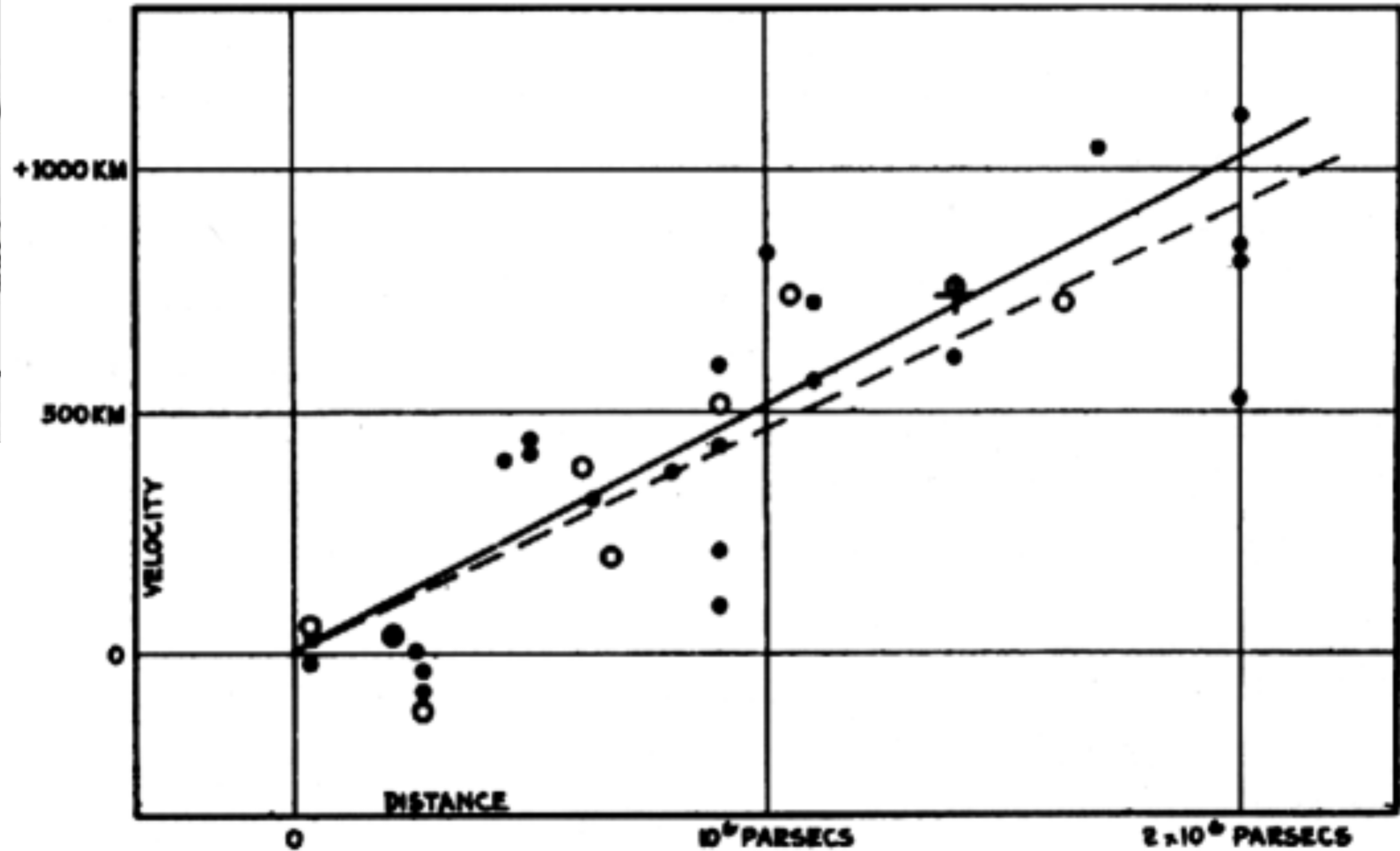


FIGURE 1

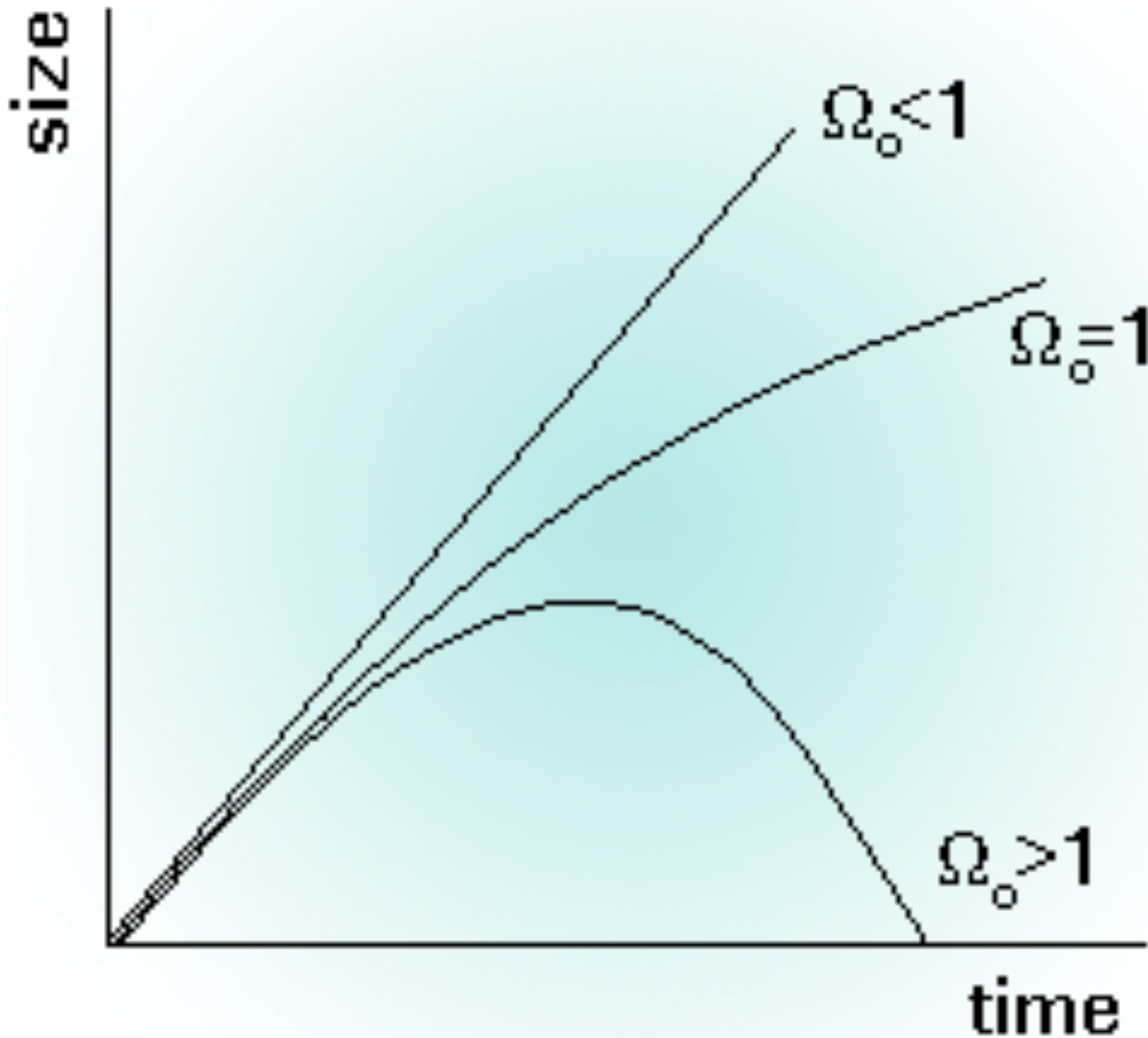
Velocity-Distance Relation among Extra-Galactic Nebulae.

Cosmological redshift z

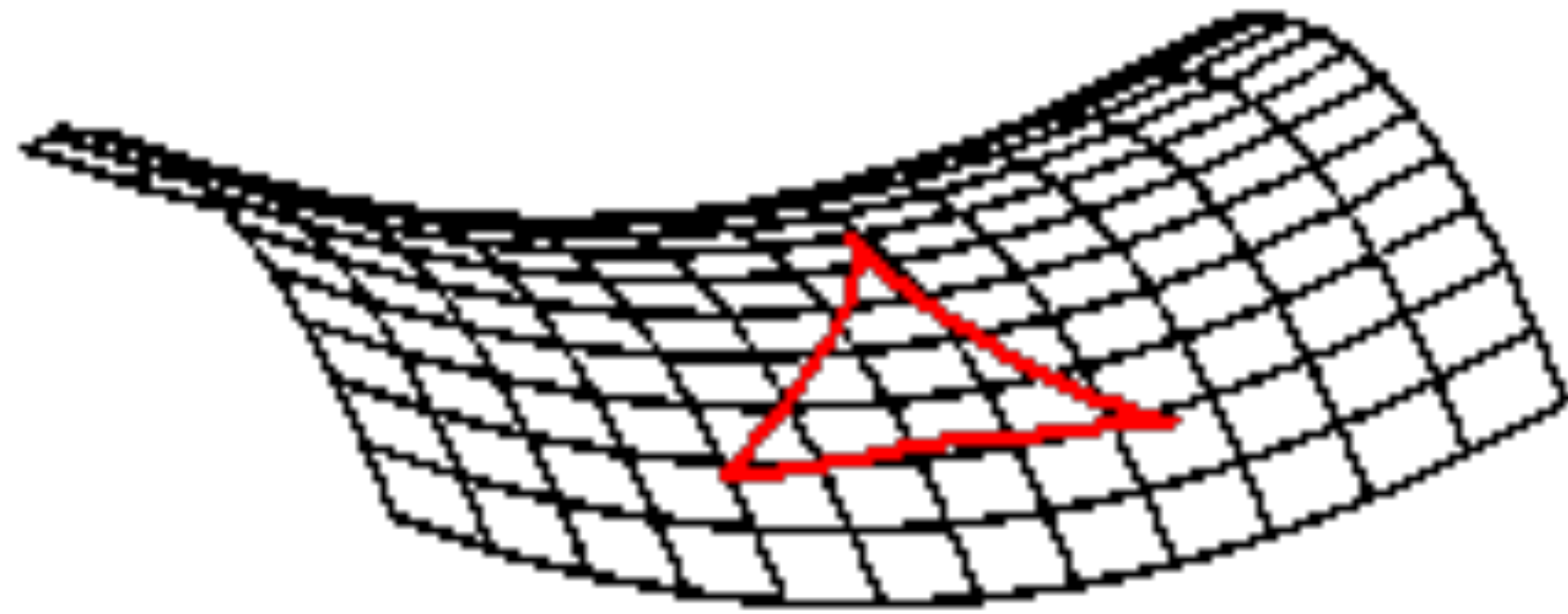
$$\frac{\lambda_{\text{obs}}}{\lambda_{\text{em}}} = (1 + z) = \frac{1}{a}$$

Expansion depends on contents

- Normal matter
- Electromagnetic radiation (only important in the early universe)

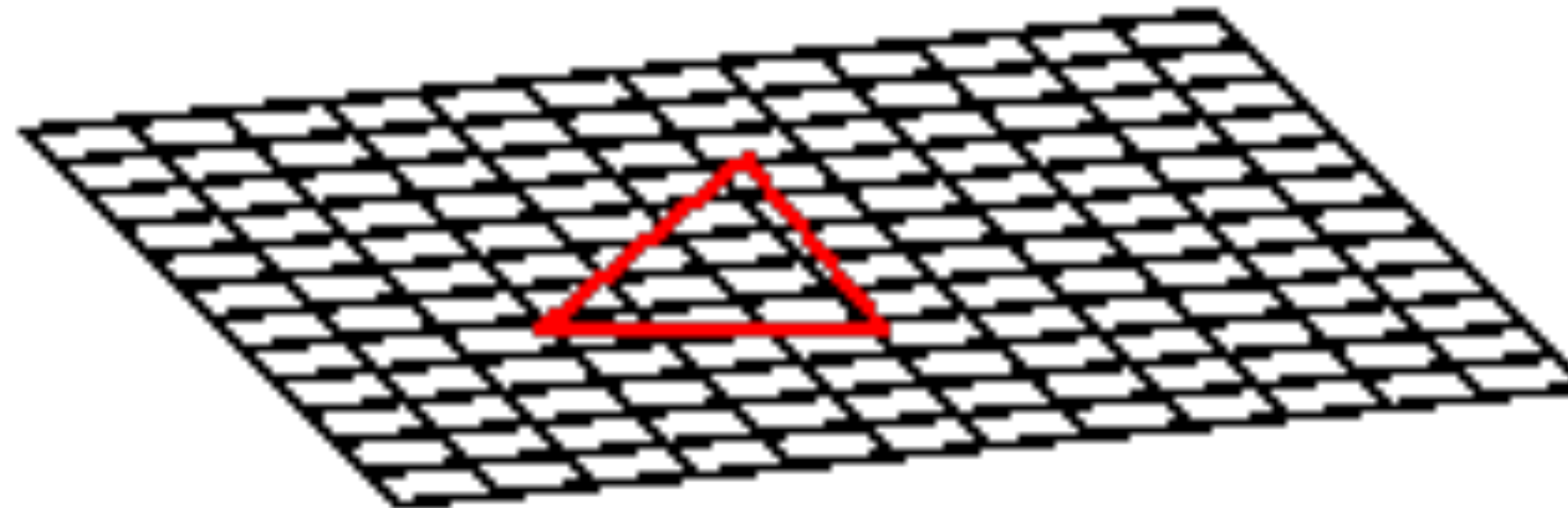


$\Omega_0 = 1$
critical density
 ~ 10 atoms per m^3



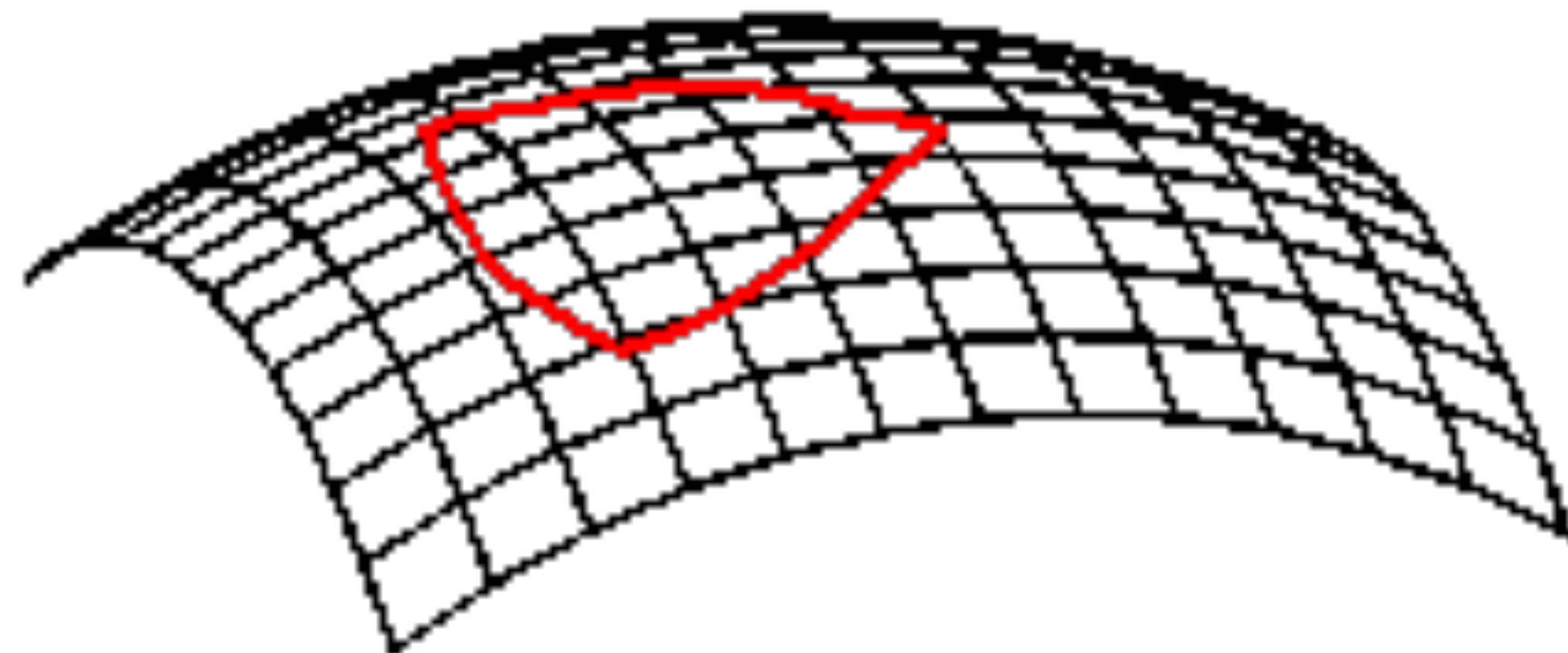
Open universe :
looks like a
horse saddle

$$\Omega_0 < 1$$



Flat universe $\Omega_0 = 1$

Closed universe :
looks like the
surface of a sphere



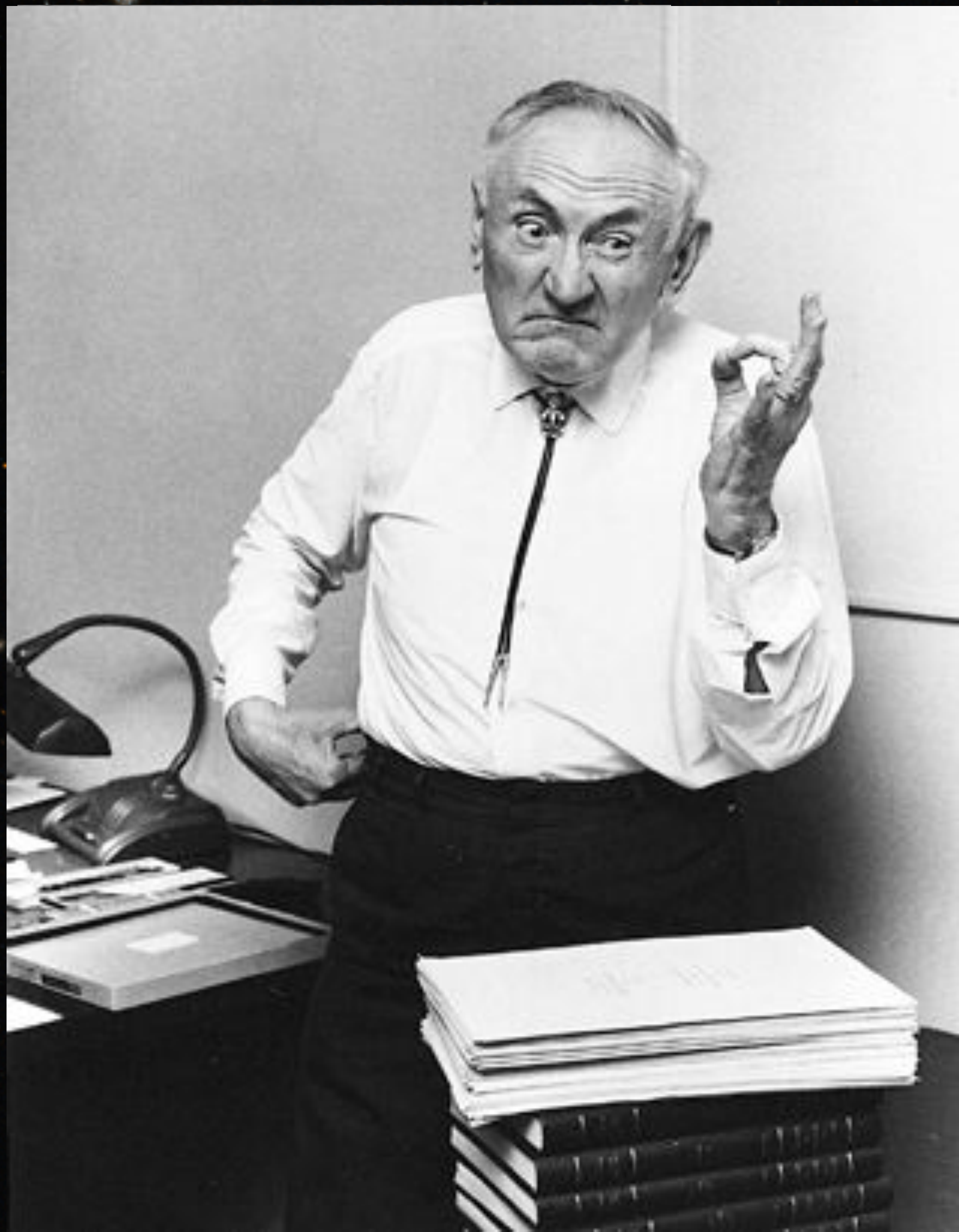
$$\Omega_0 > 1$$



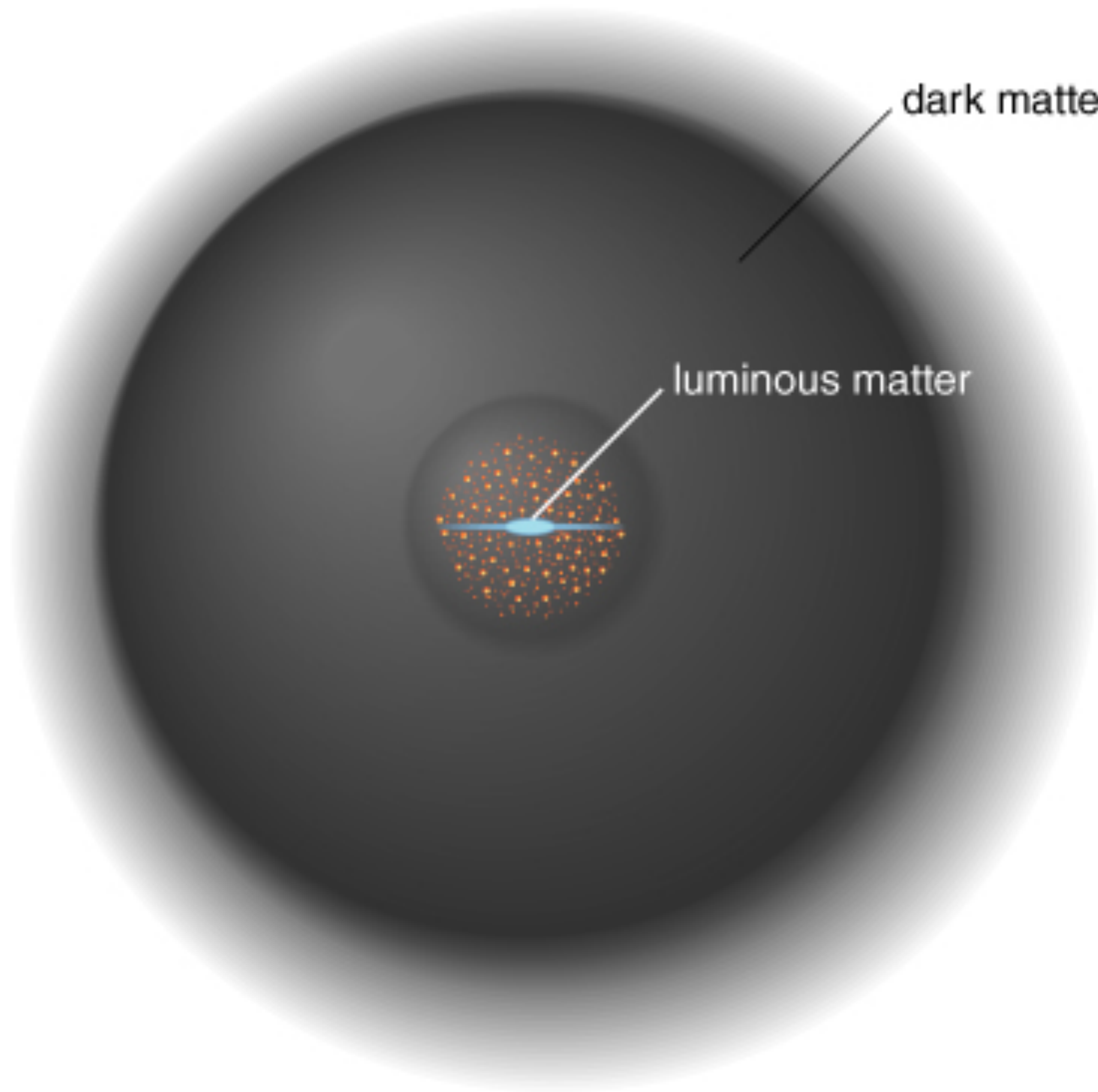
Normal (baryonic) matter

$$\Omega_b = 0.05$$

Open Universe?







dark matter

luminous matter

Expansion depends on contents

- Normal matter
- Electromagnetic radiation
- Dark matter

Dark Matter

$$\Omega_{\text{dm}} = 0.25$$

Dark Matter

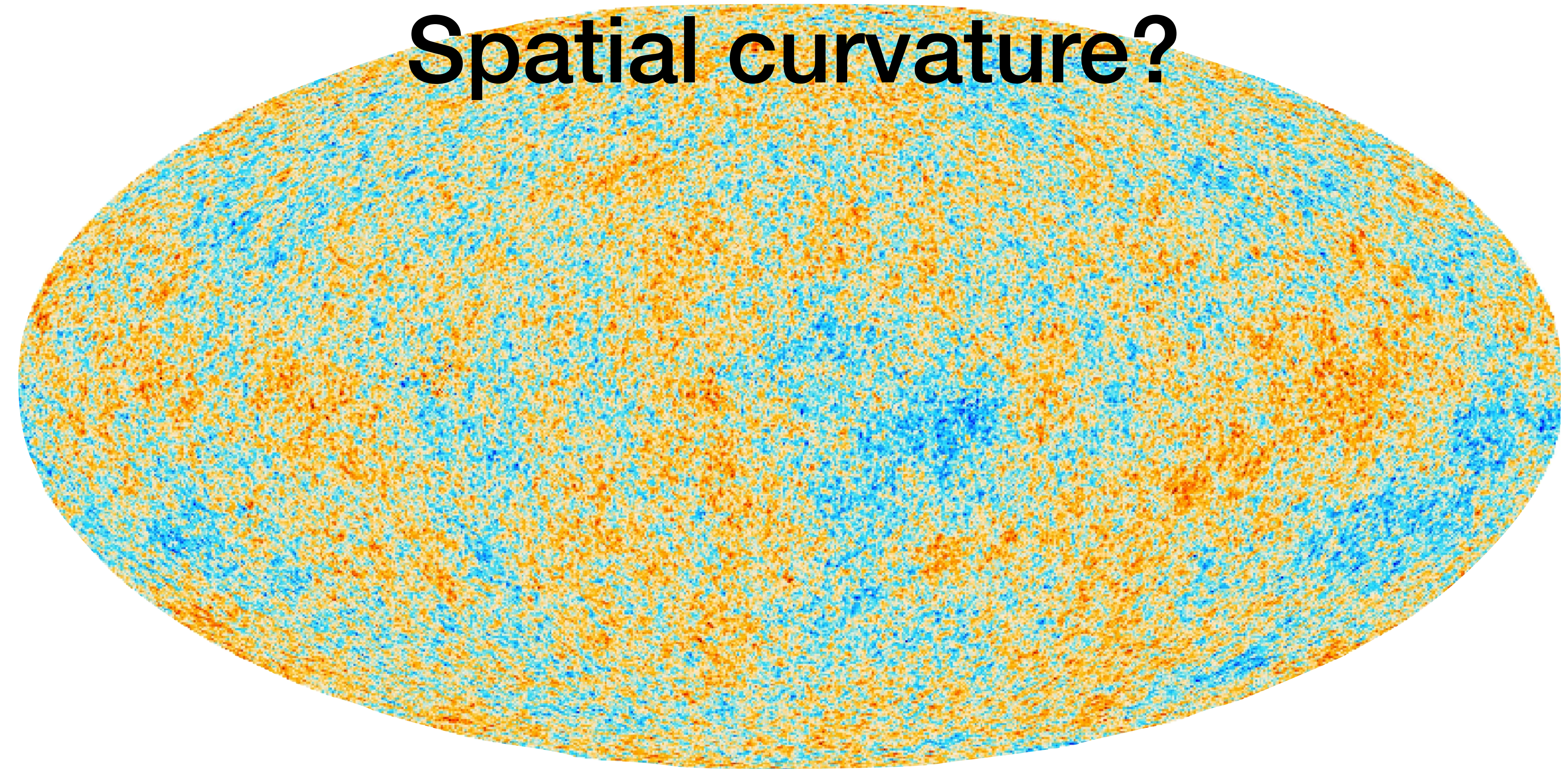
- Collisionless
- Dissipationless
- Cold
- Just weak interaction and gravity
- WIMPs? Axions? Sterile Neutrinos? Primordial black holes?
- Alternative: Modification of general relativity

Total matter density

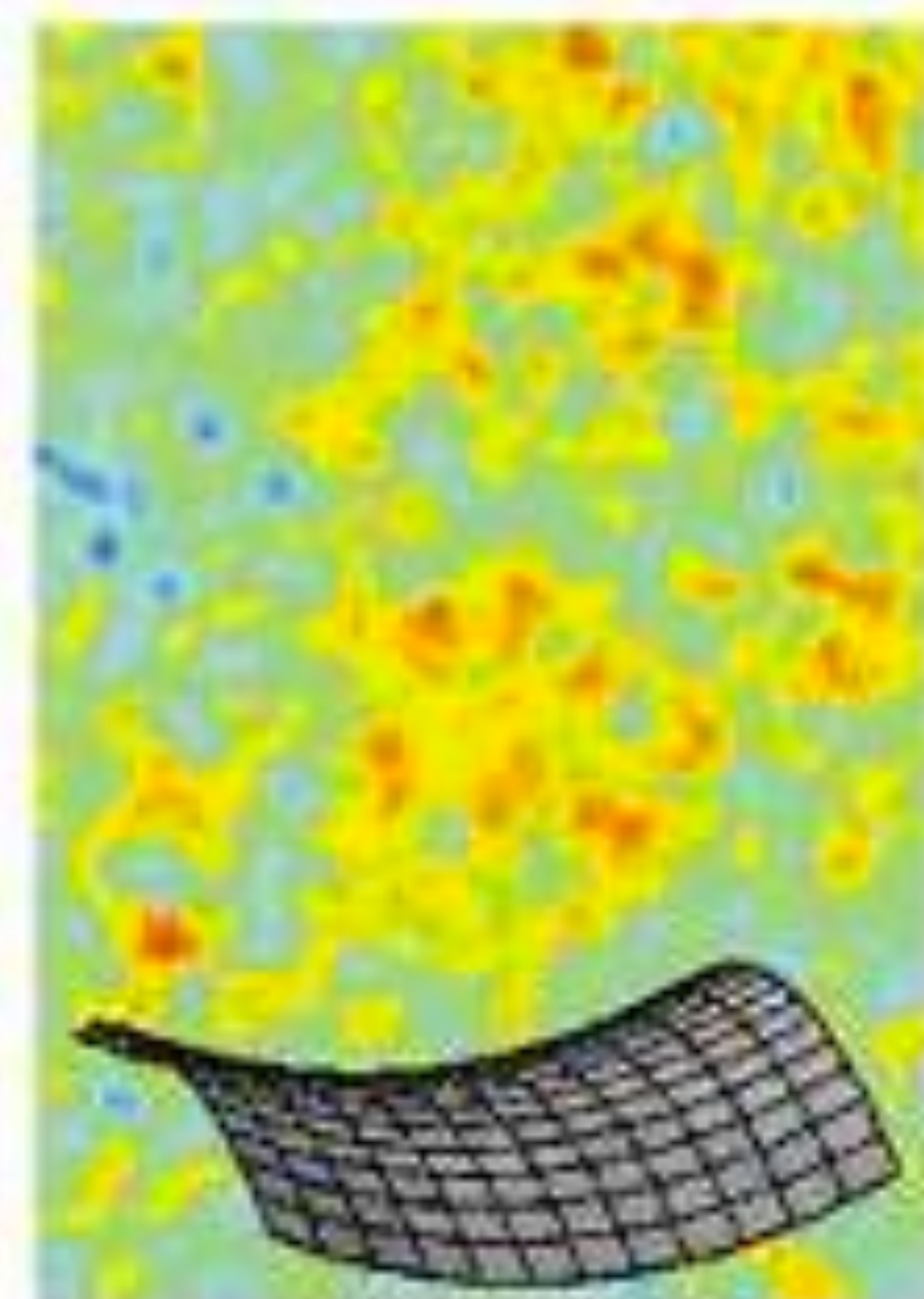
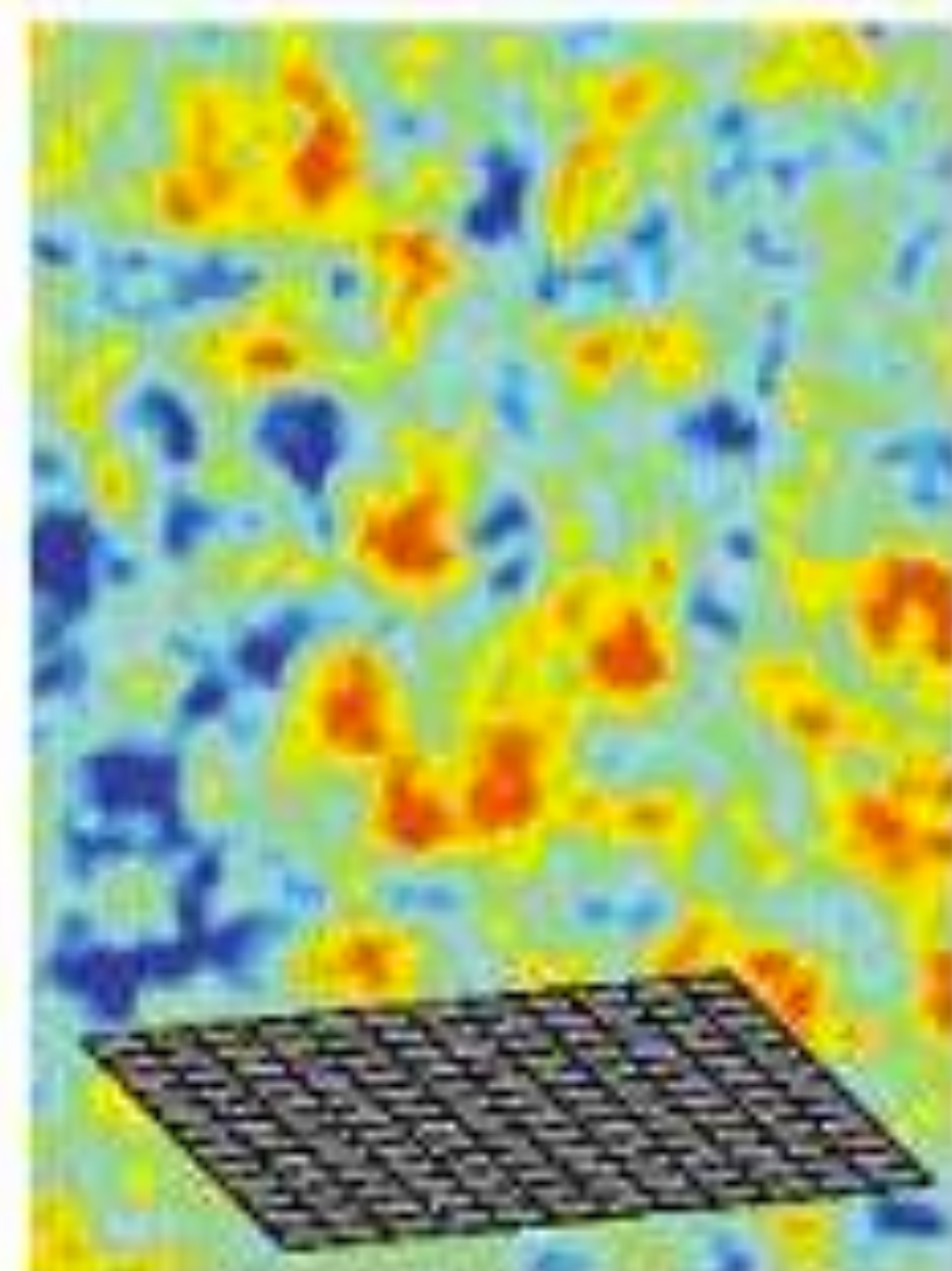
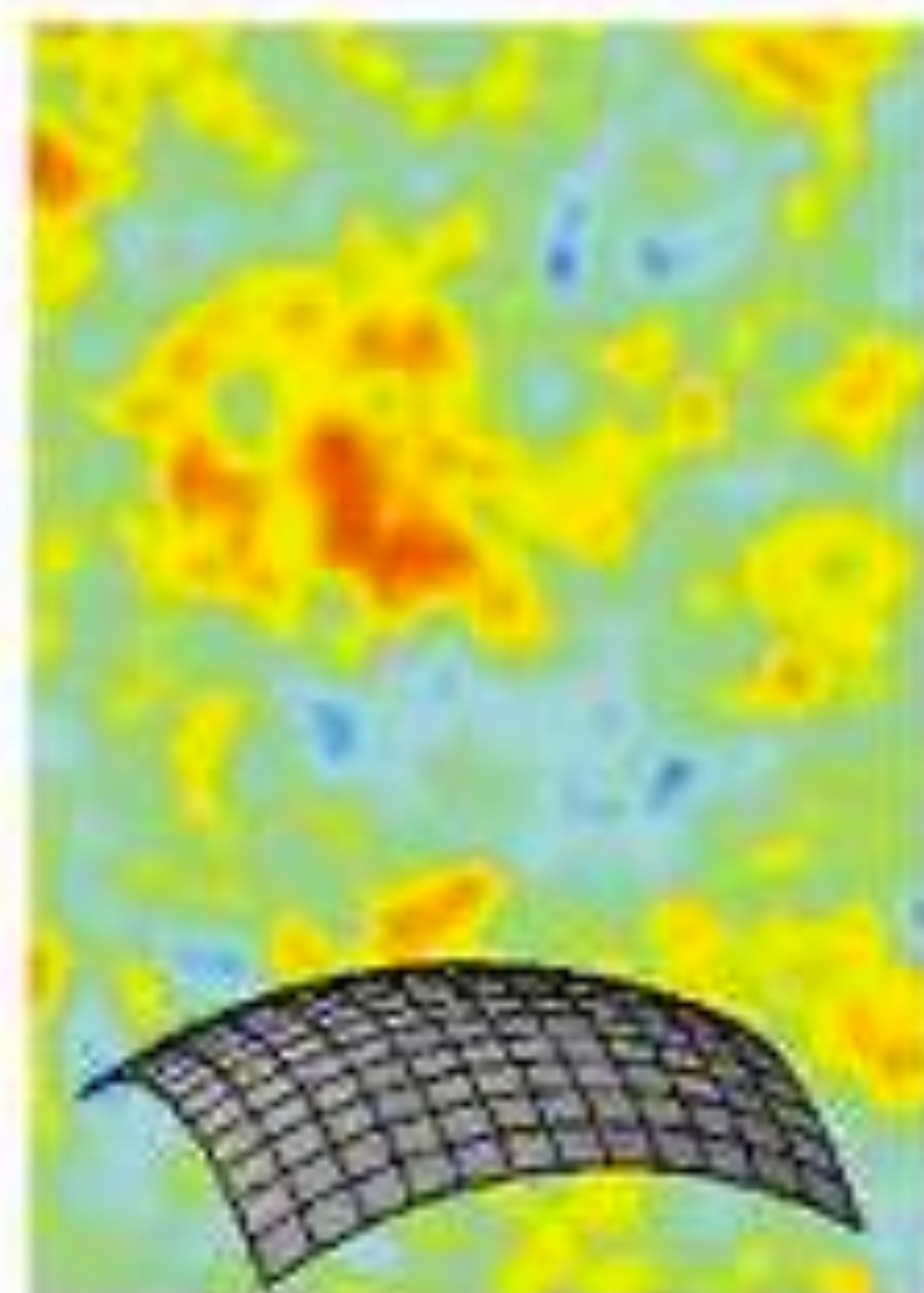
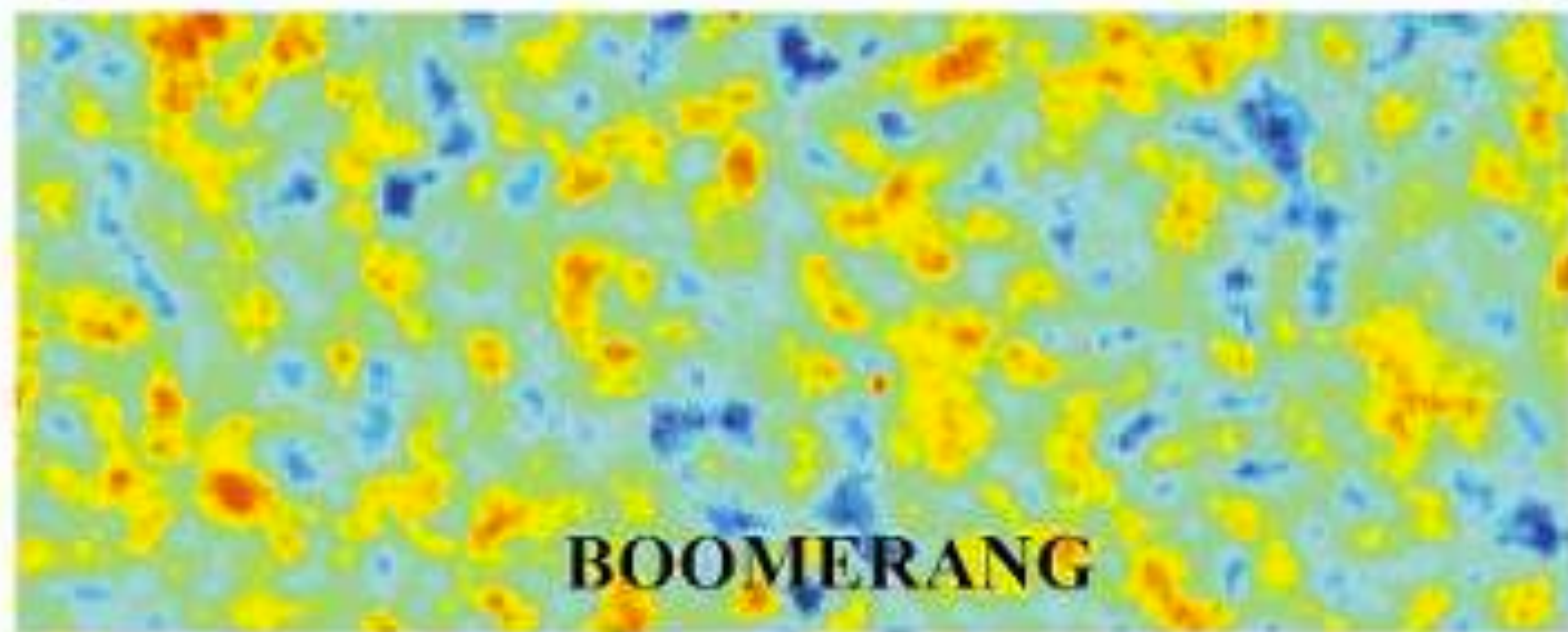
$$\Omega_m = \Omega_b + \Omega_{dm} = 0.3$$

Open Universe?

Spatial curvature?



25°



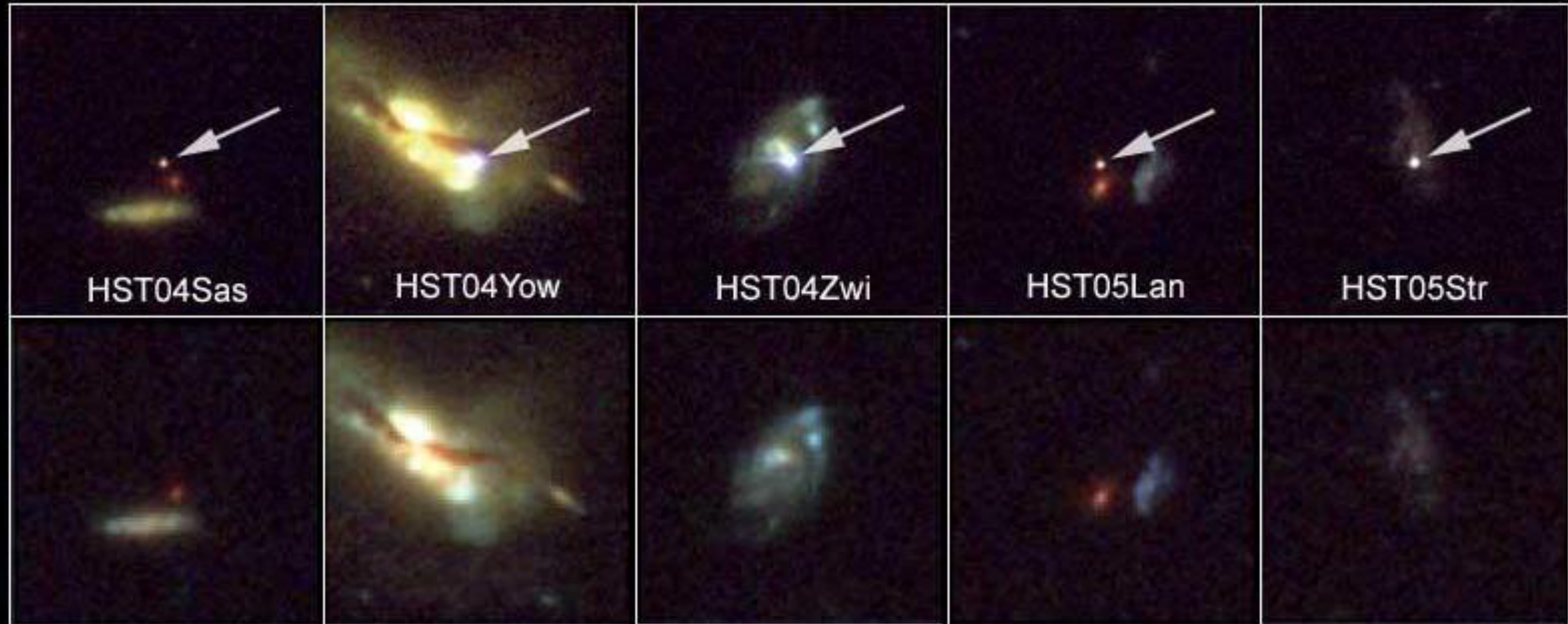
$$\Omega_0 = 1 \pm 0.01$$

Expansion depends on contents

- Normal matter
- Electromagnetic radiation
- Dark matter
- ...

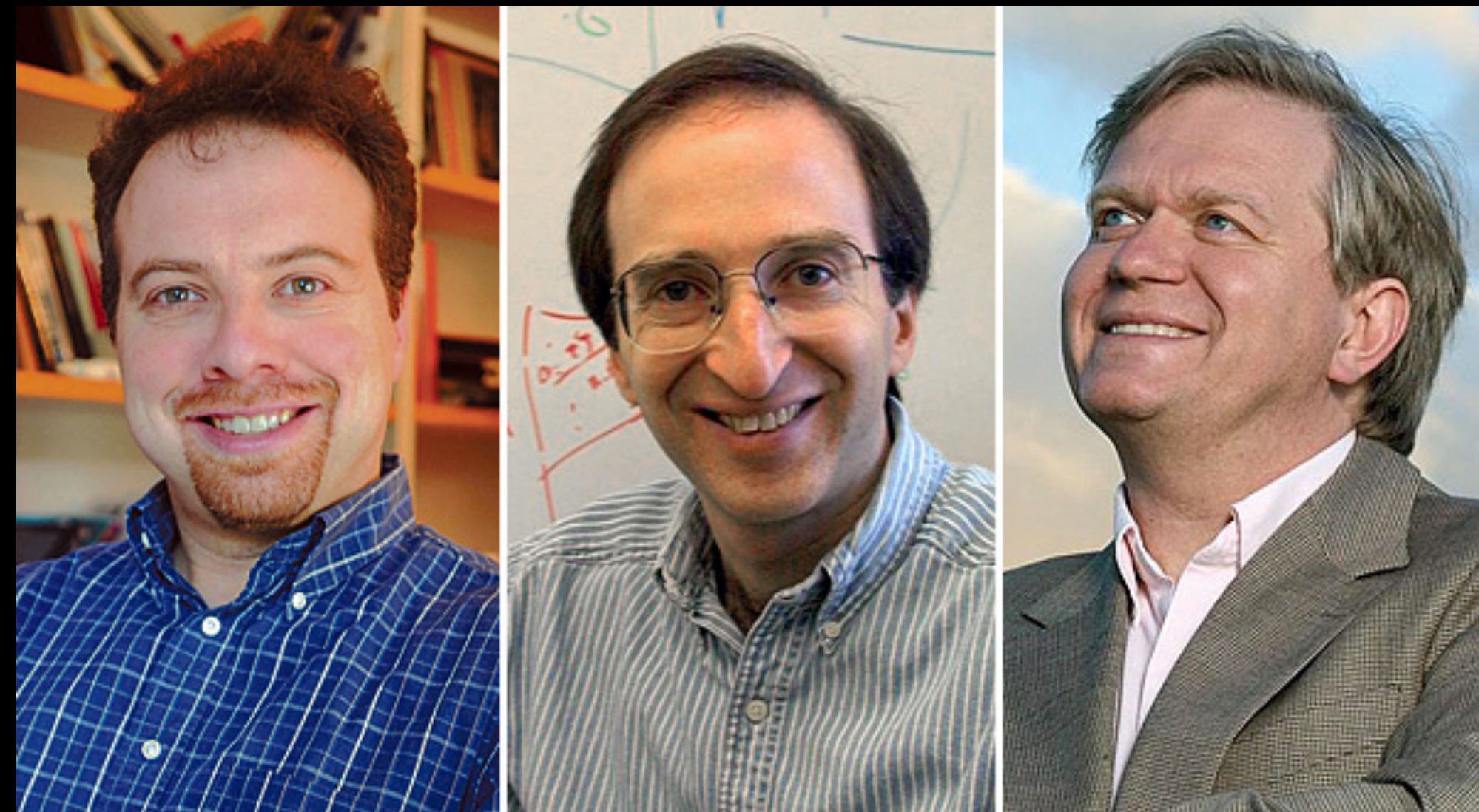
Host Galaxies of Distant Supernovae

HST ■ ACS/WFC

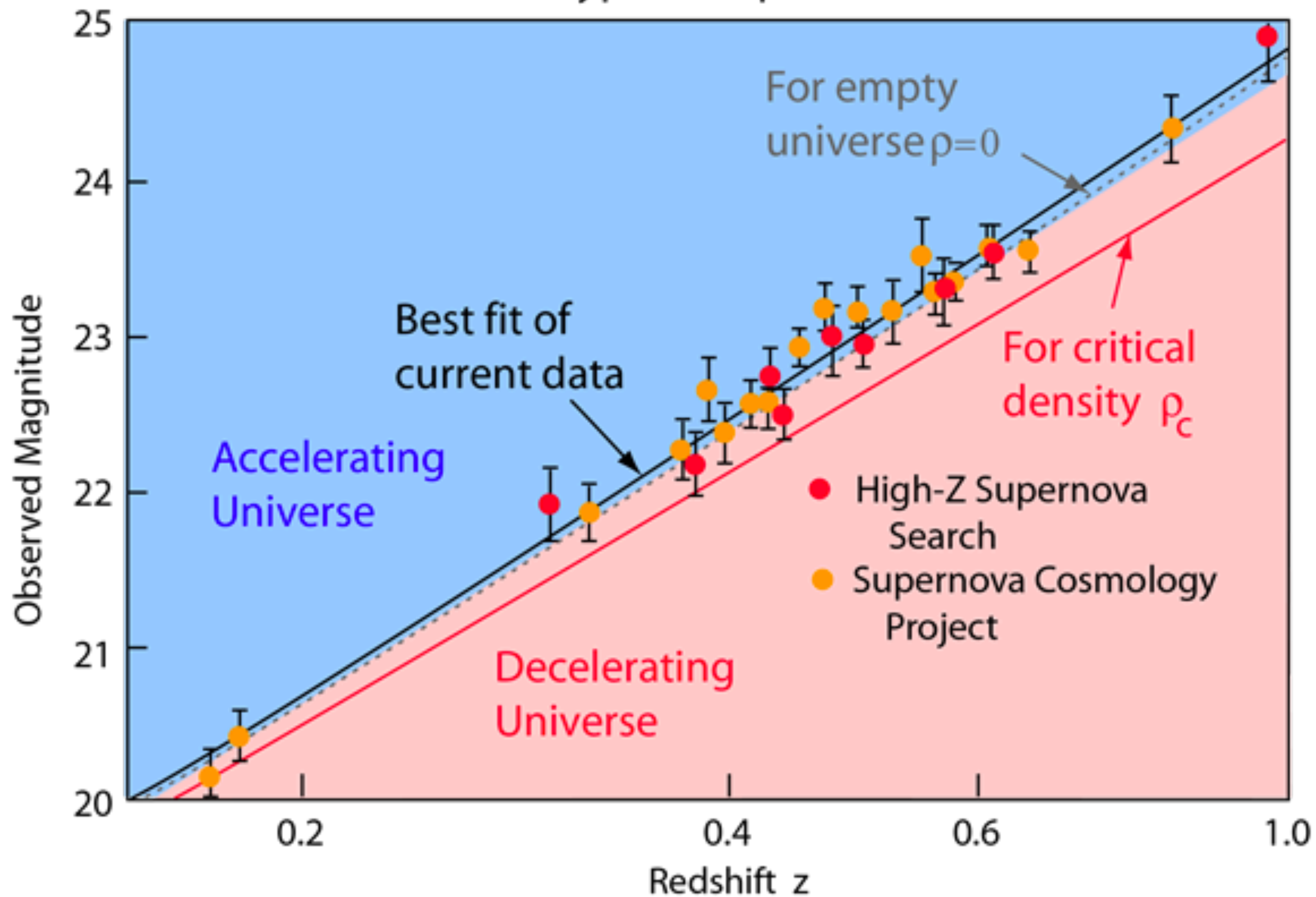


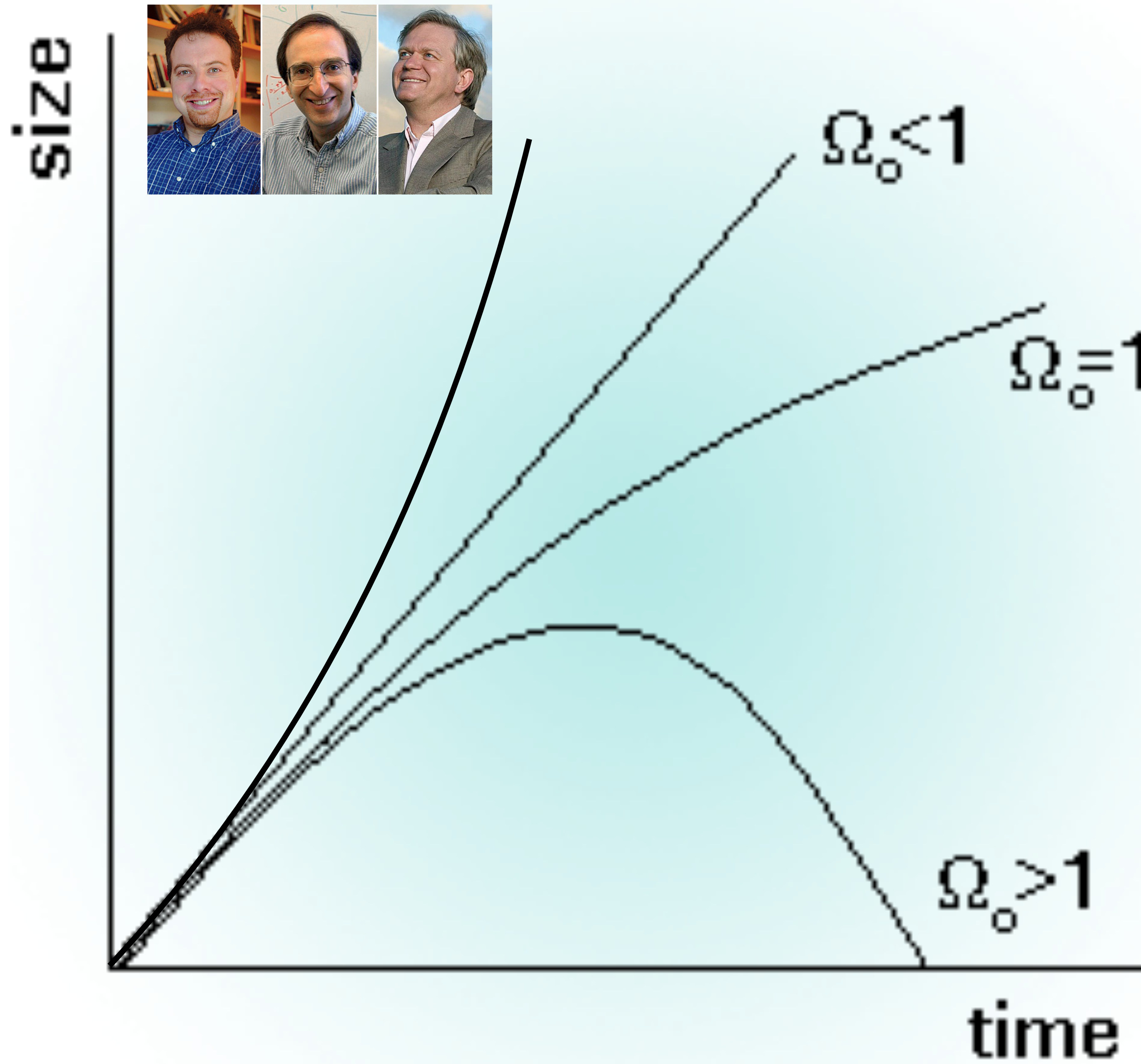
NASA, ESA, and A. Riess (STScI)

STScI-PRC06-52



Distant Type Ia Supernovae





Expansion depends on contents

- Normal matter
- Electromagnetic radiation
- Dark matter
- Cosmological constant / dark energy

Energy density of dark energy

$$\Omega_{\text{de}} = 0.7$$

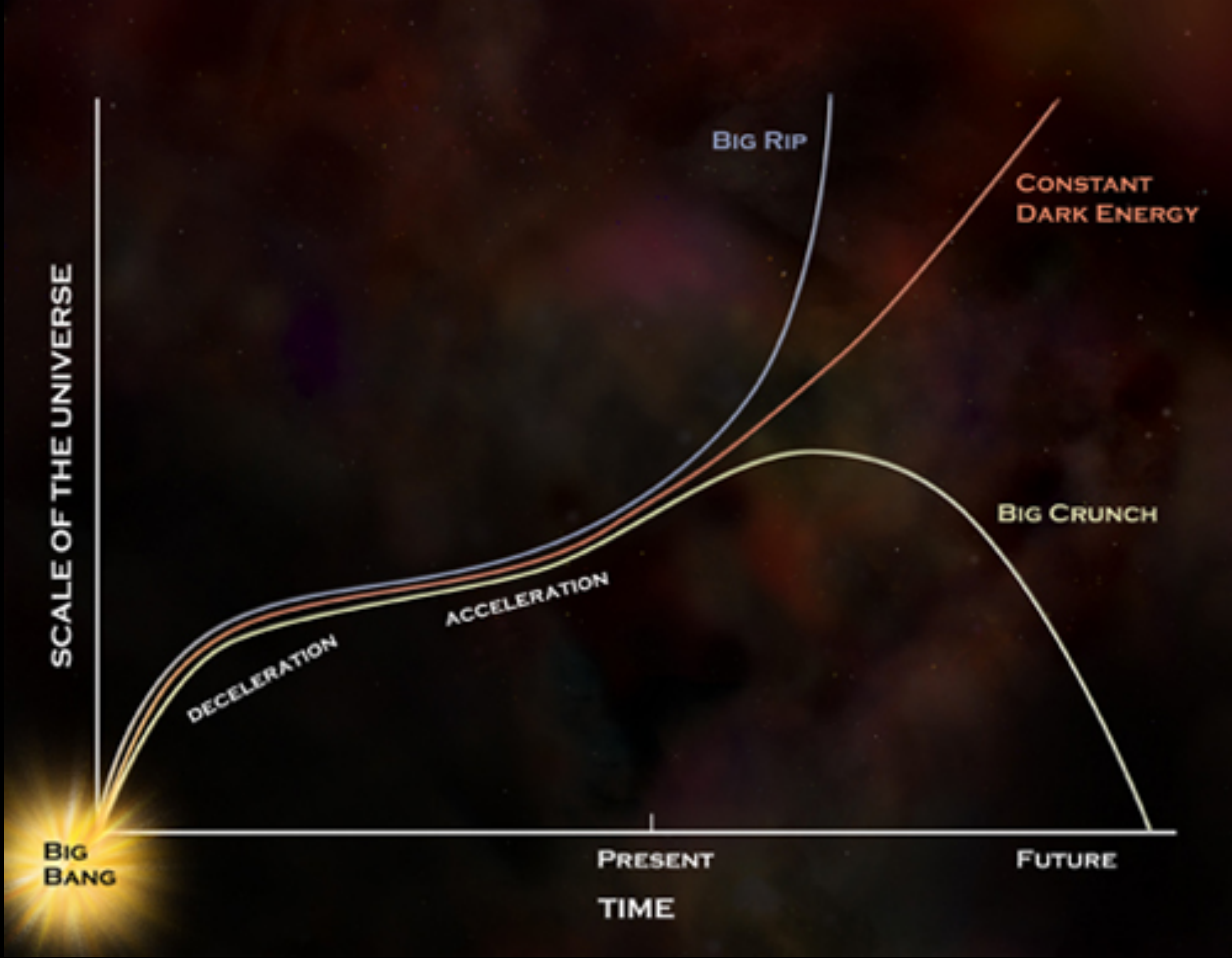
$$\Omega_0 = \Omega_m + \Omega_{de} = 1$$

Cosmological Constant?

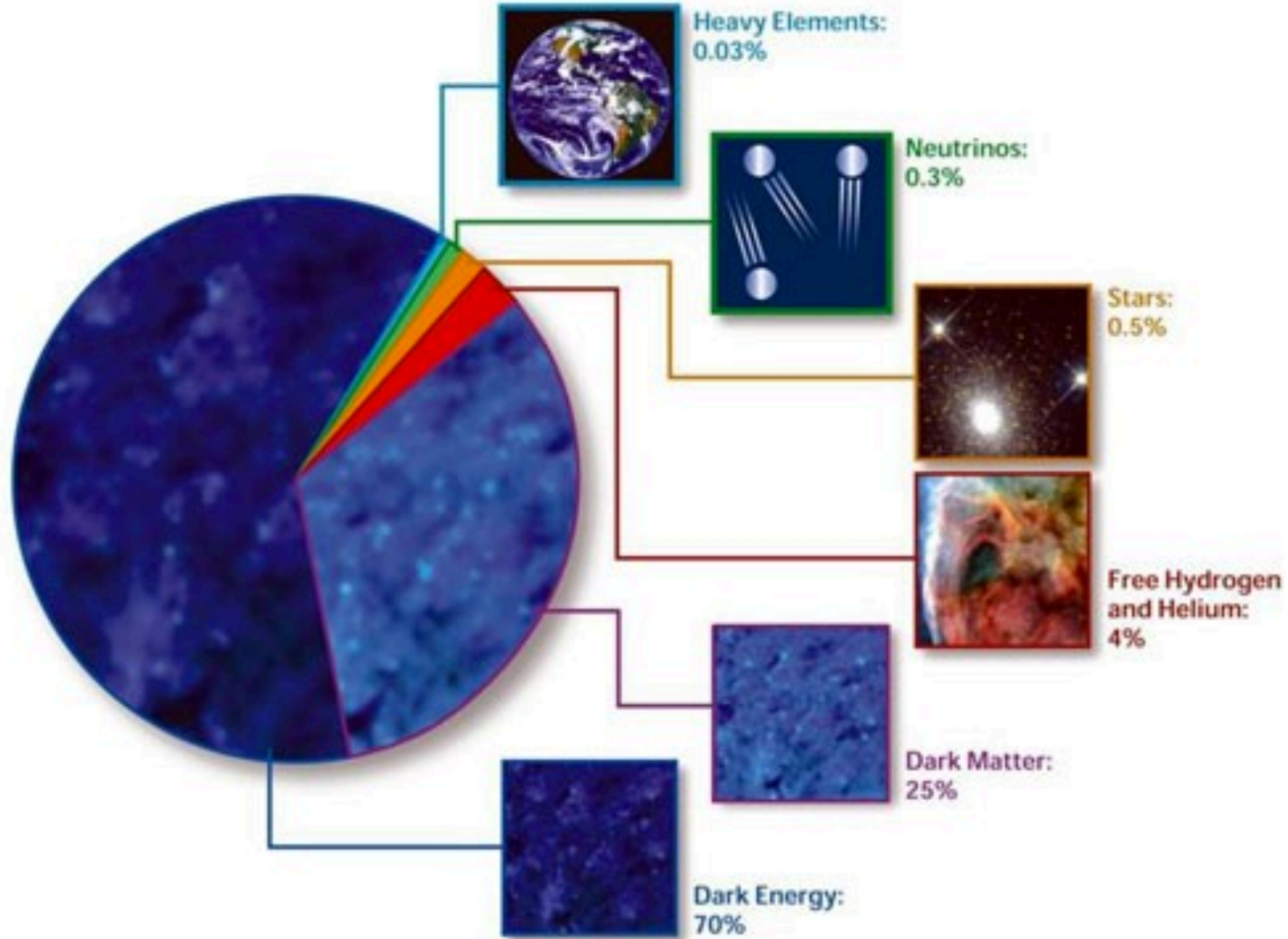
Vacuum energy?

Exotic particles?

Modification of general relativity?



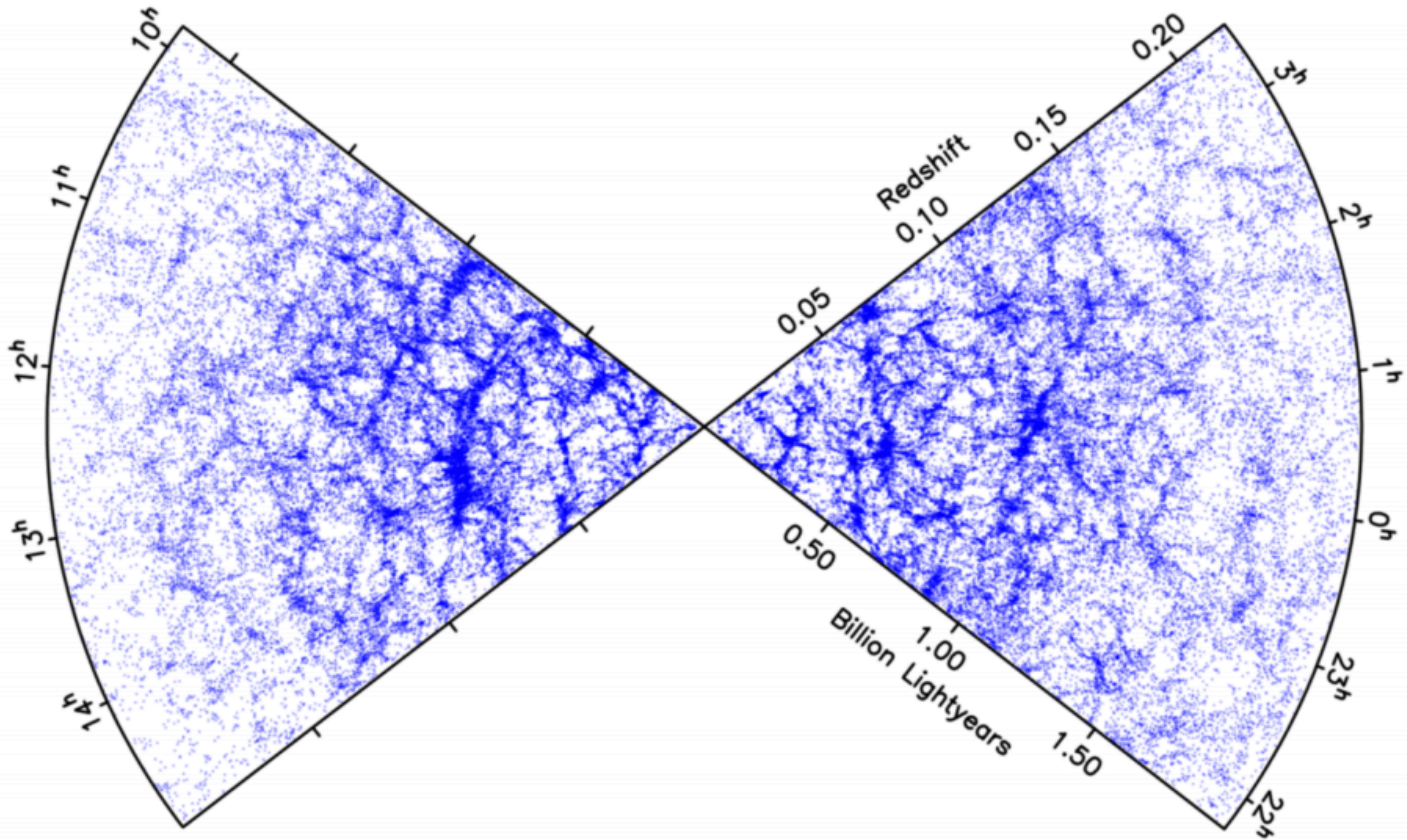
COMPOSITION OF THE COSMOS



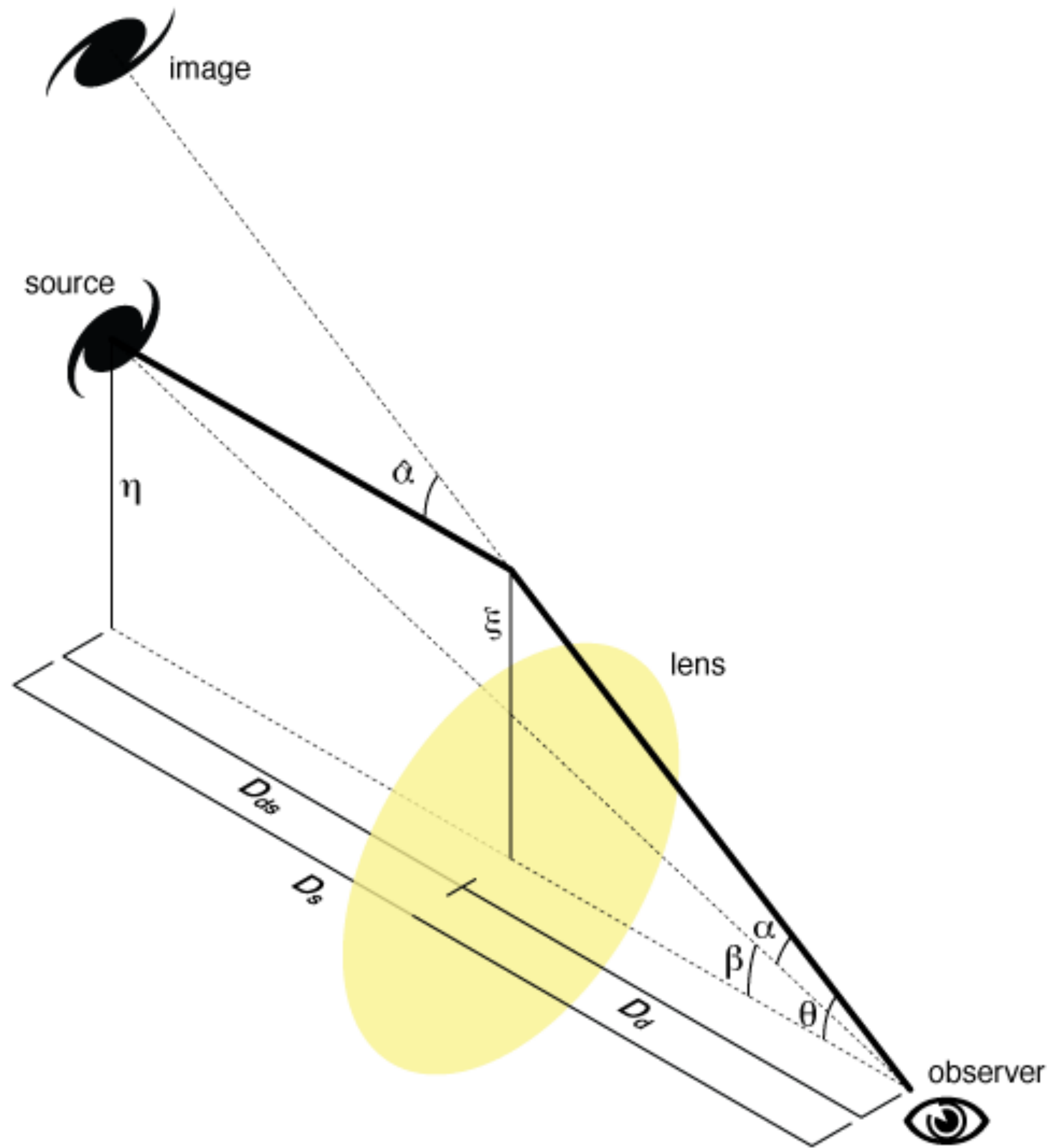
Observing dark energy

- Distance-redshift relation:
 1. Supernovae type Ia
 2. Baryon acoustic oscillations
- + Growth of structures:
 3. Galaxy cluster mass function
 4. **Weak gravitational lensing**

Gravitational Lensing

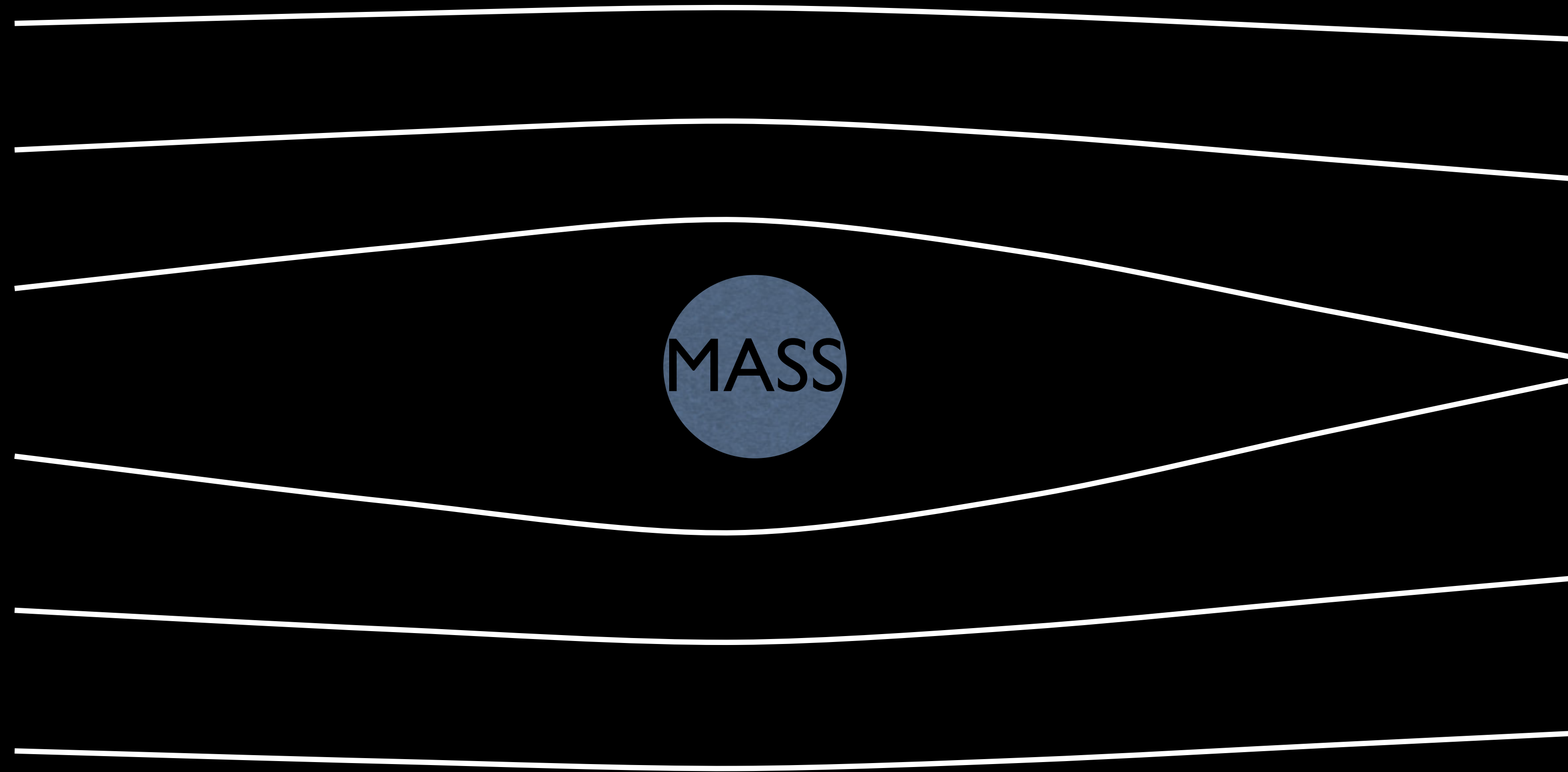




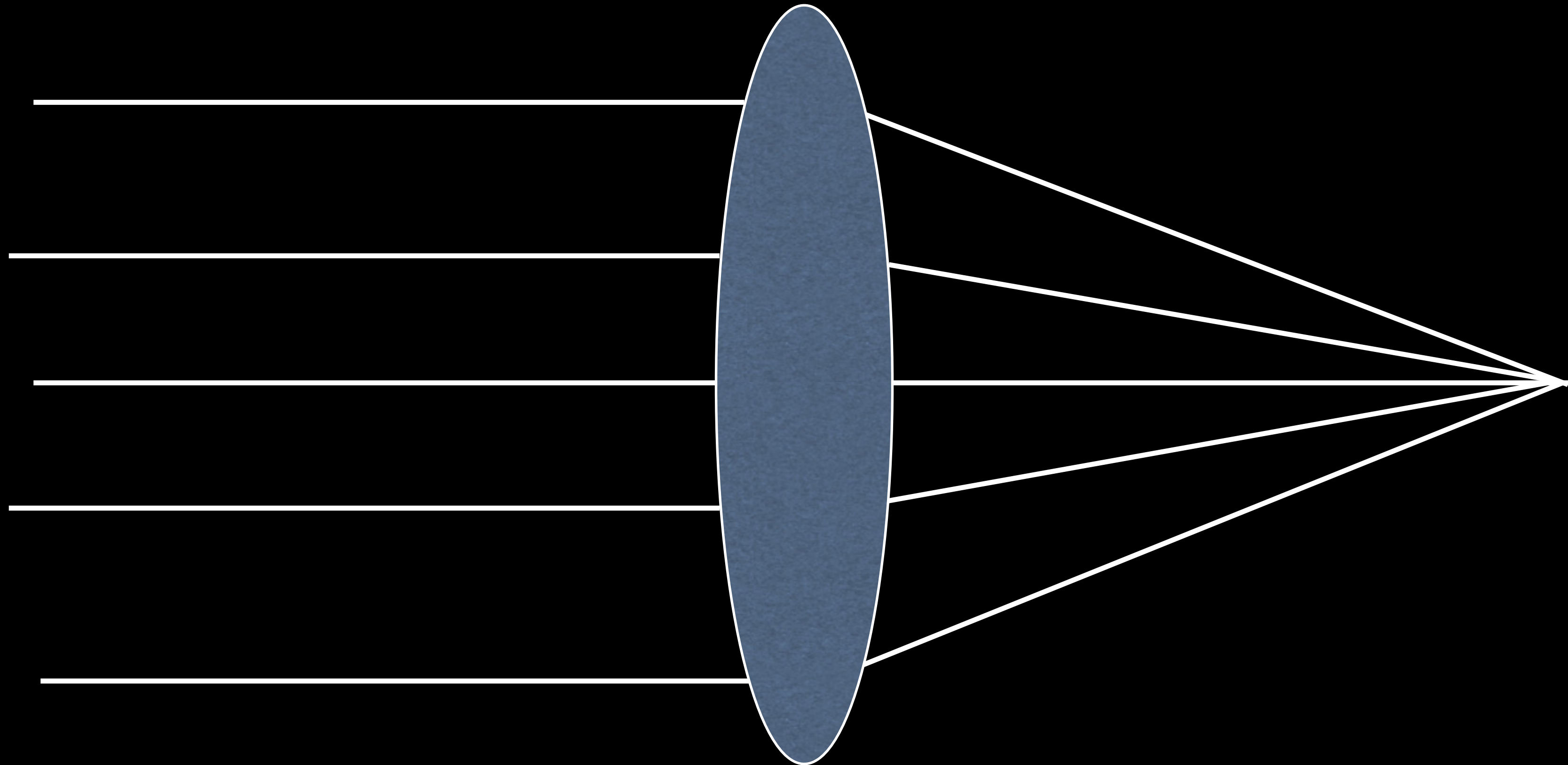


Credit: Michael Sachs

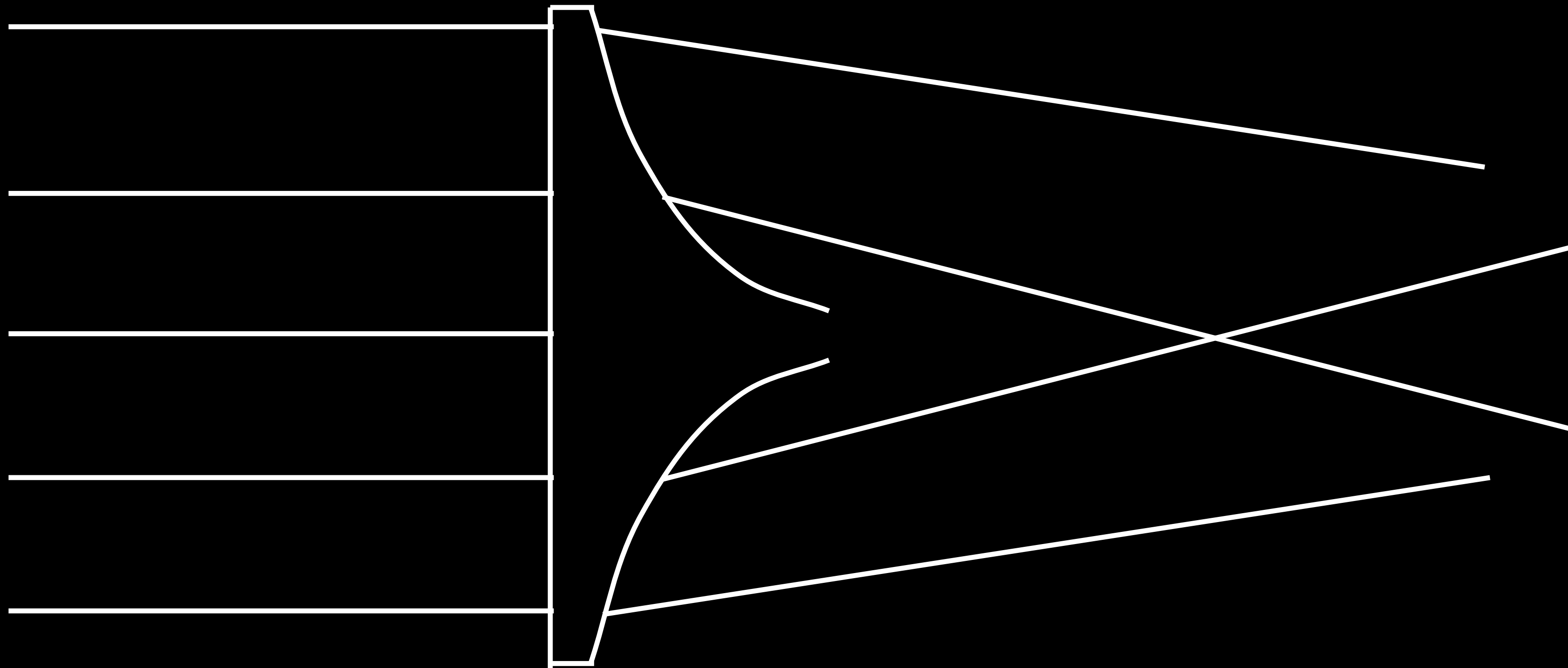
Gravitational lens



Optical lens



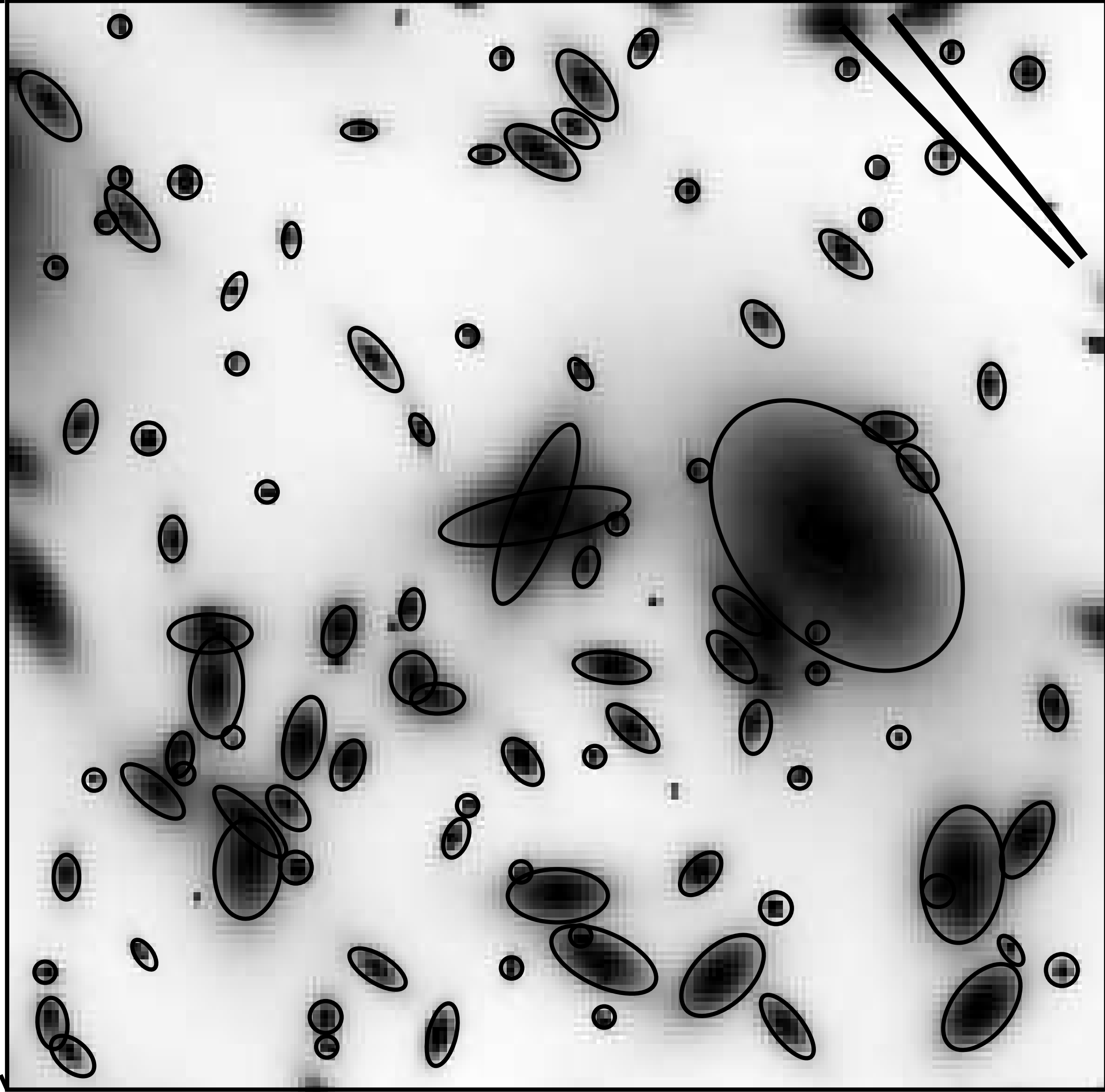
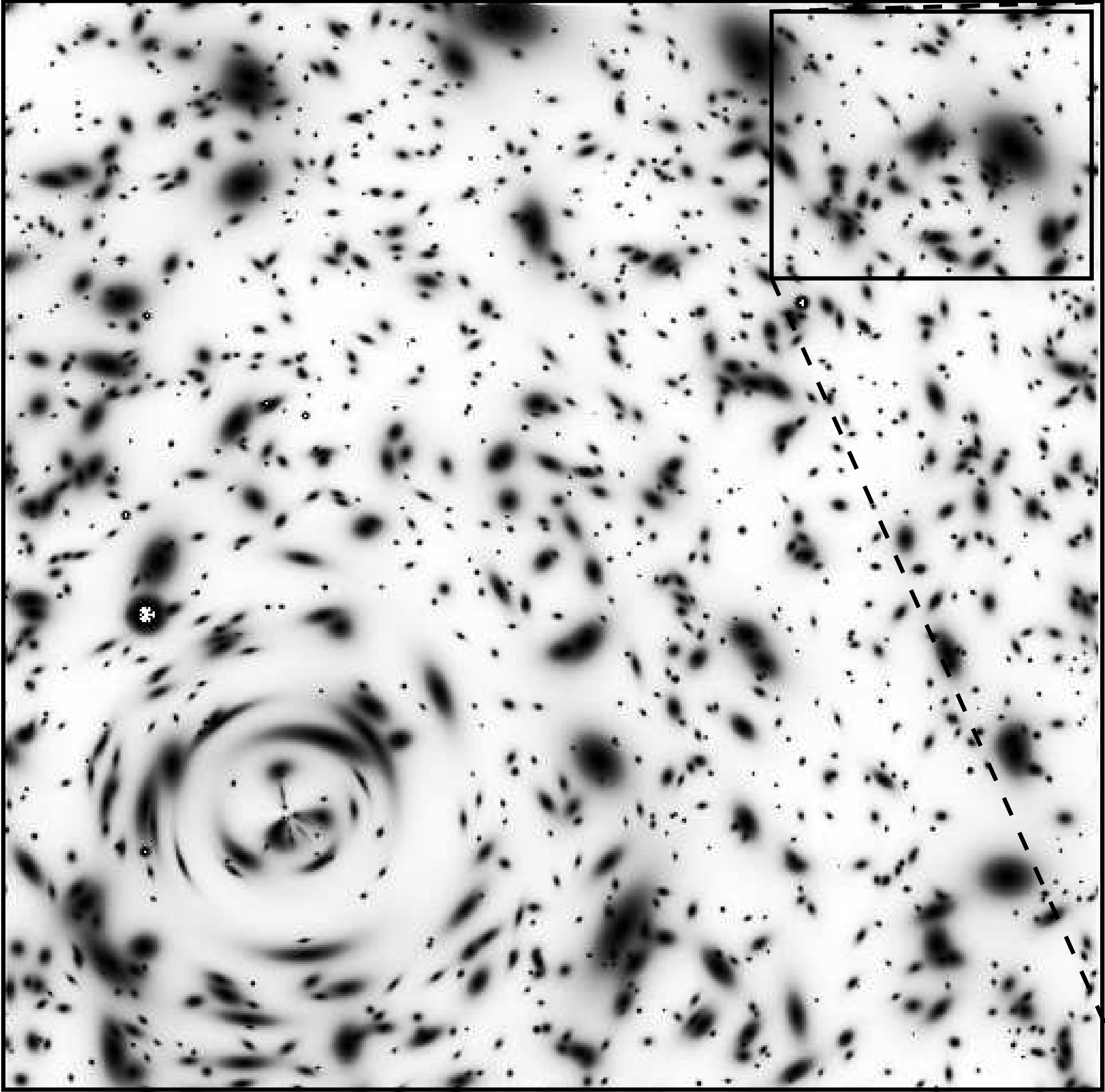
Gravitational lens analogue

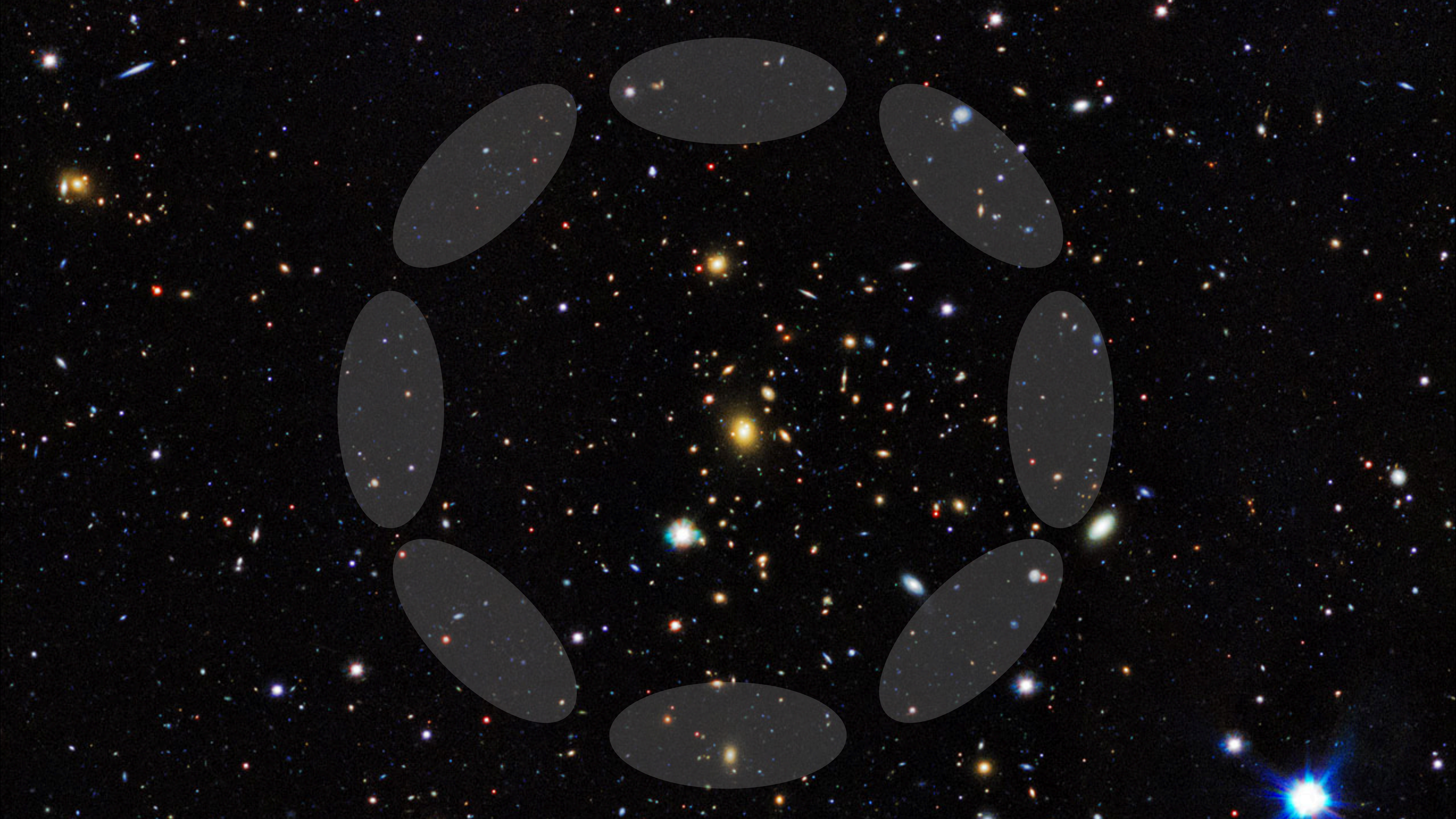


Spherical aberration!

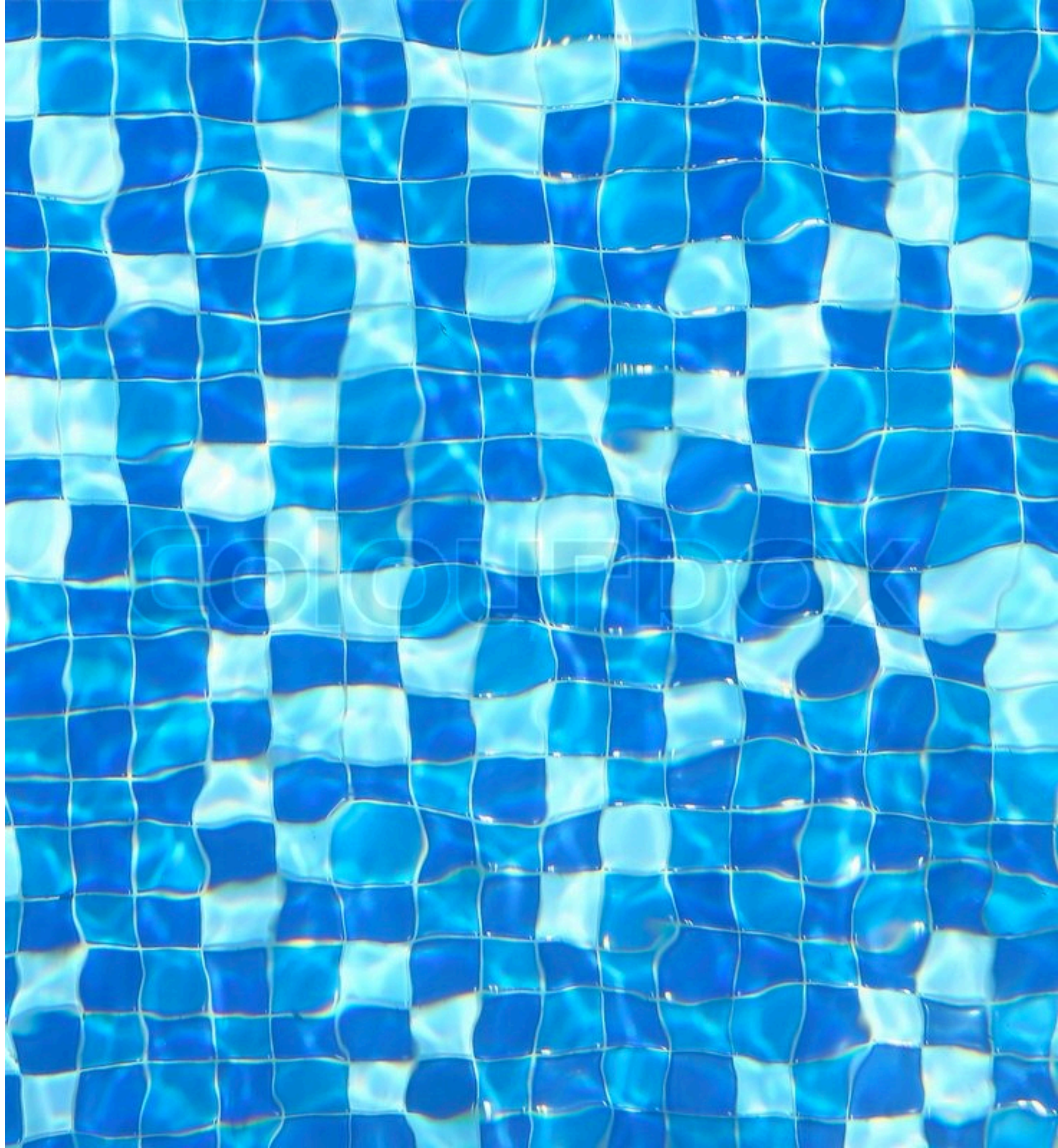


Credit: R. Schirdewahn

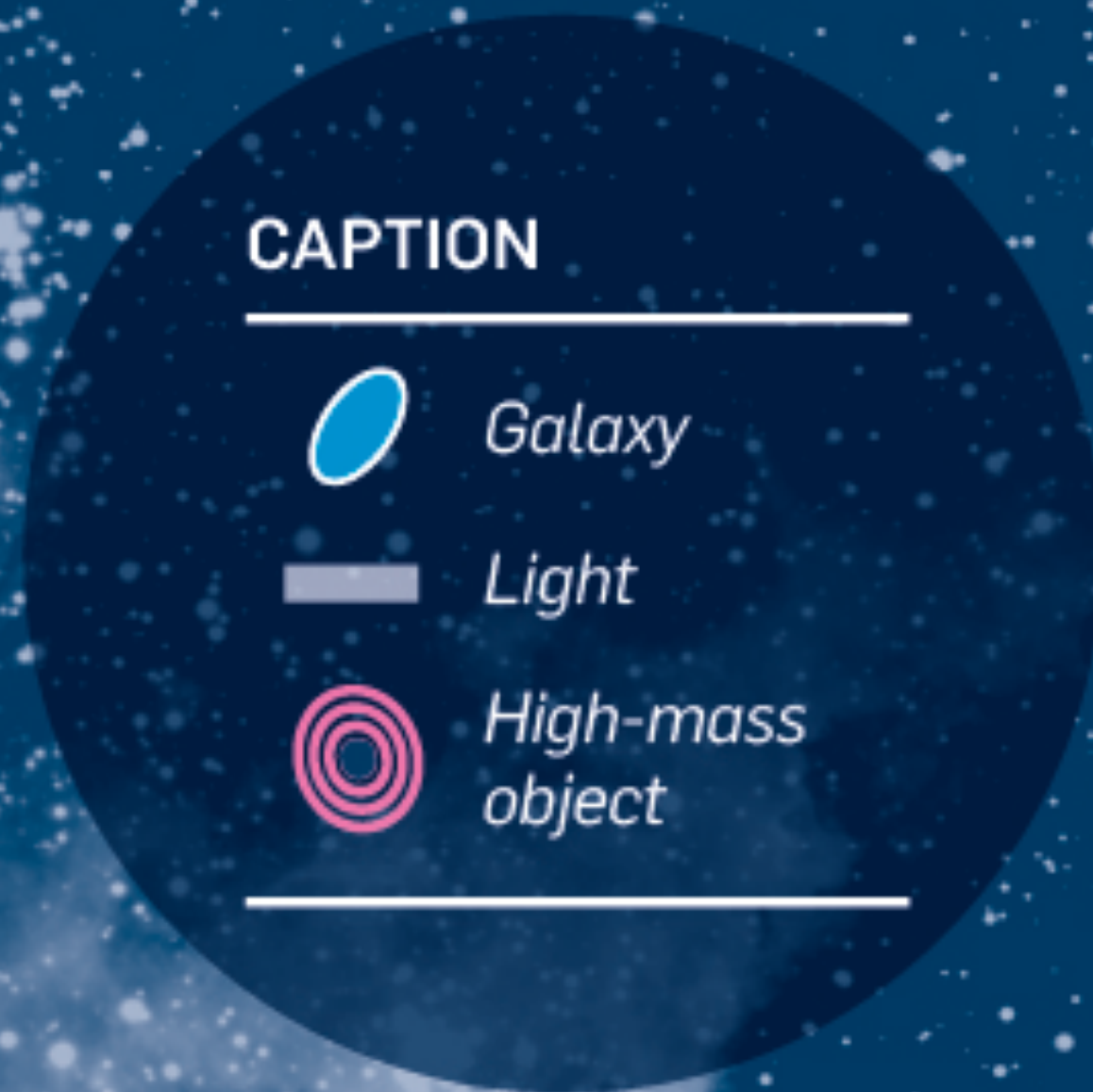








Cosmic shear



Sensitive to:

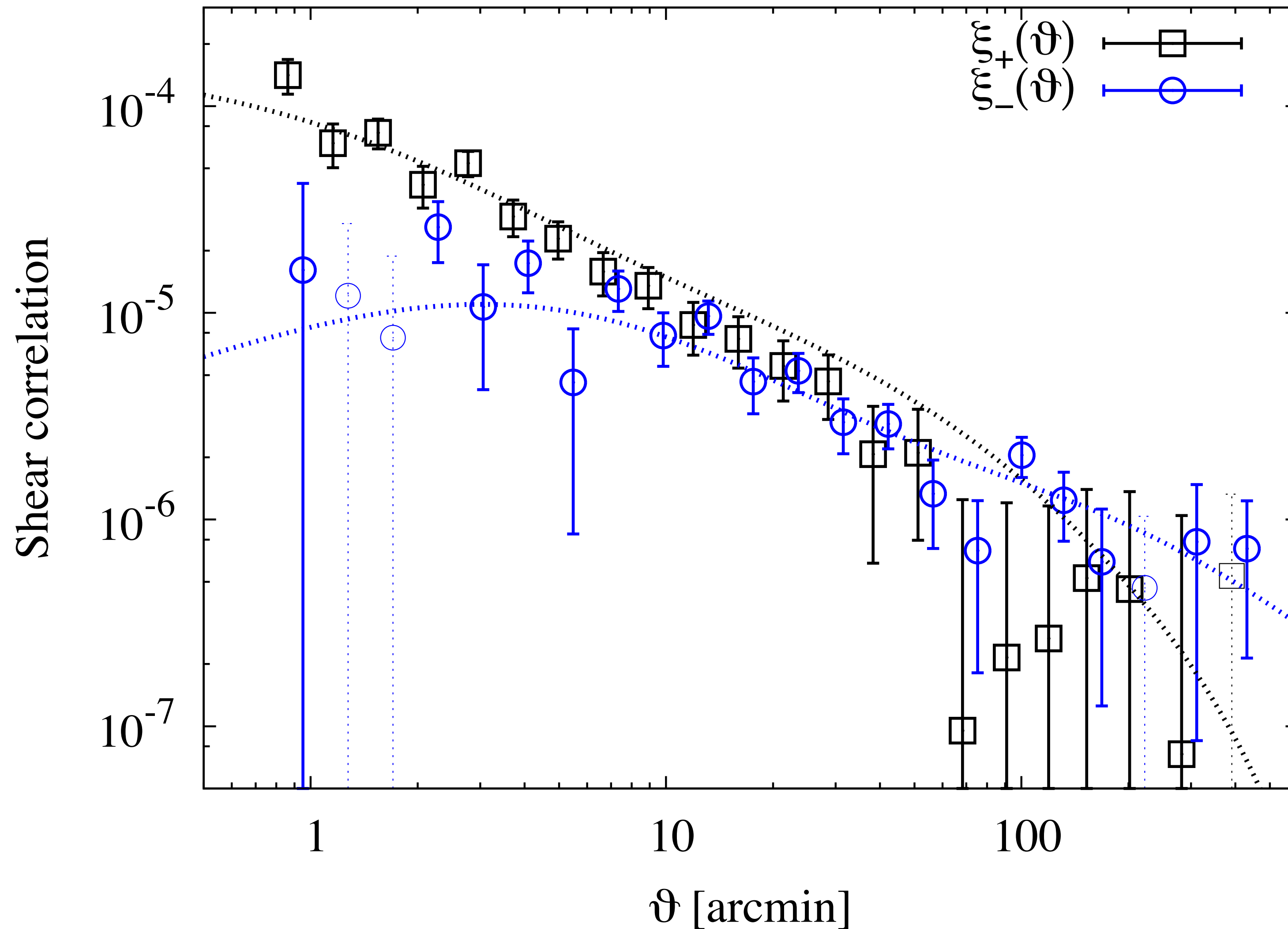
- Matter distribution
- Geometry

Observables:

- Ellipticities
- Photo-z

Statistical measurement of many galaxies

2pt shear correlation functions



Very directly related to the matter power spectrum P_{δ} .

Observation → theory

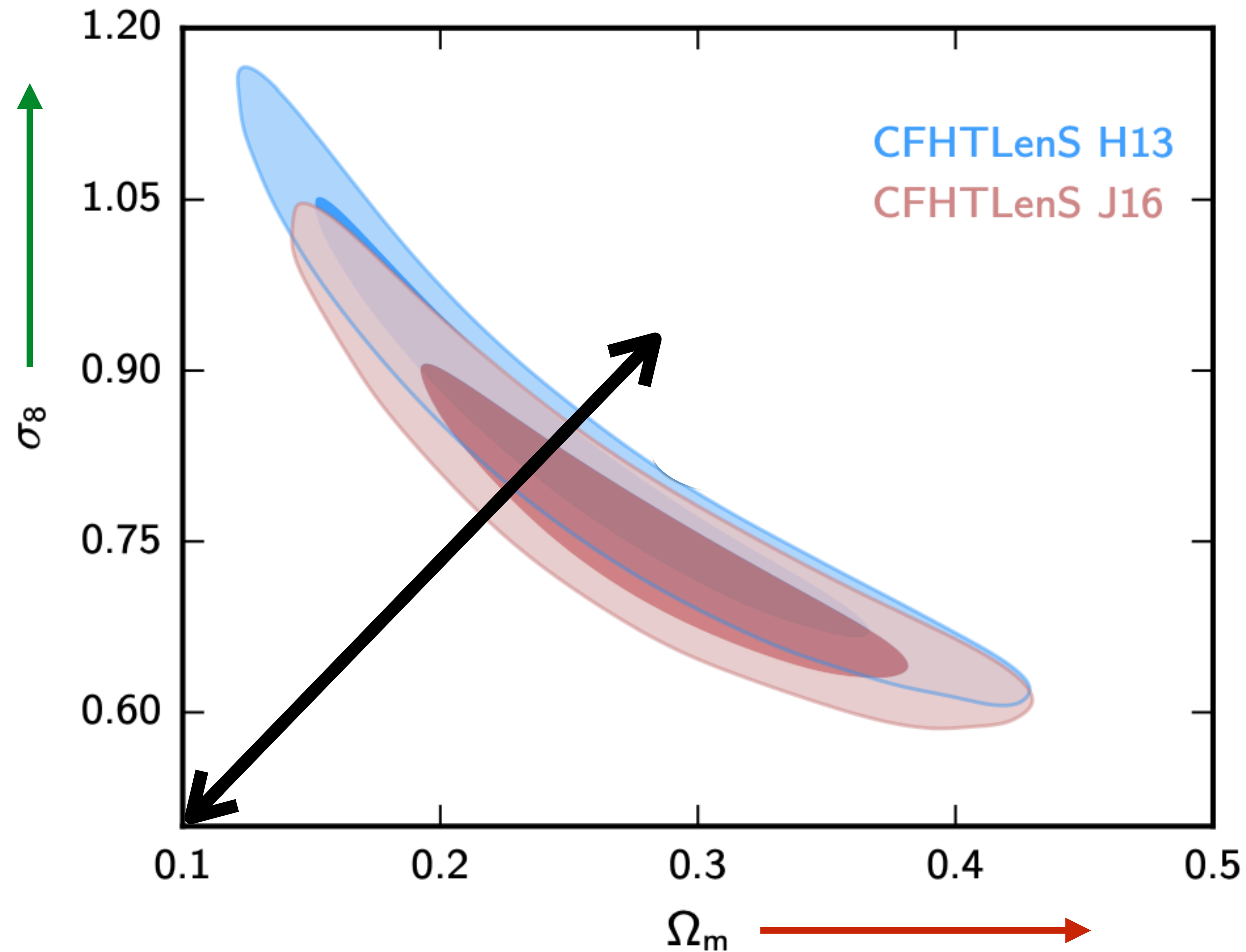
$$\xi_{\pm}(\theta) = \langle \gamma_t \gamma_t \rangle(\theta) \pm \langle \gamma_{\times} \gamma_{\times} \rangle(\theta)$$

$$\xi_{+}(\theta) = \int_0^{\infty} \frac{d\ell \ell}{2\pi} J_0(\ell\theta) P_{\kappa}(\ell) ; \quad \xi_{-}(\theta) = \int_0^{\infty} \frac{d\ell \ell}{2\pi} J_4(\ell\theta) P_{\kappa}(\ell)$$

$$P_{\kappa}(\ell) = \frac{9H_0^4 \Omega_m^2}{4c^4} \int_0^{\chi_h} d\chi \frac{g^2(\chi)}{a^2(\chi)} P_{\delta} \left(\frac{\ell}{f_K(\chi)}, \chi \right)$$

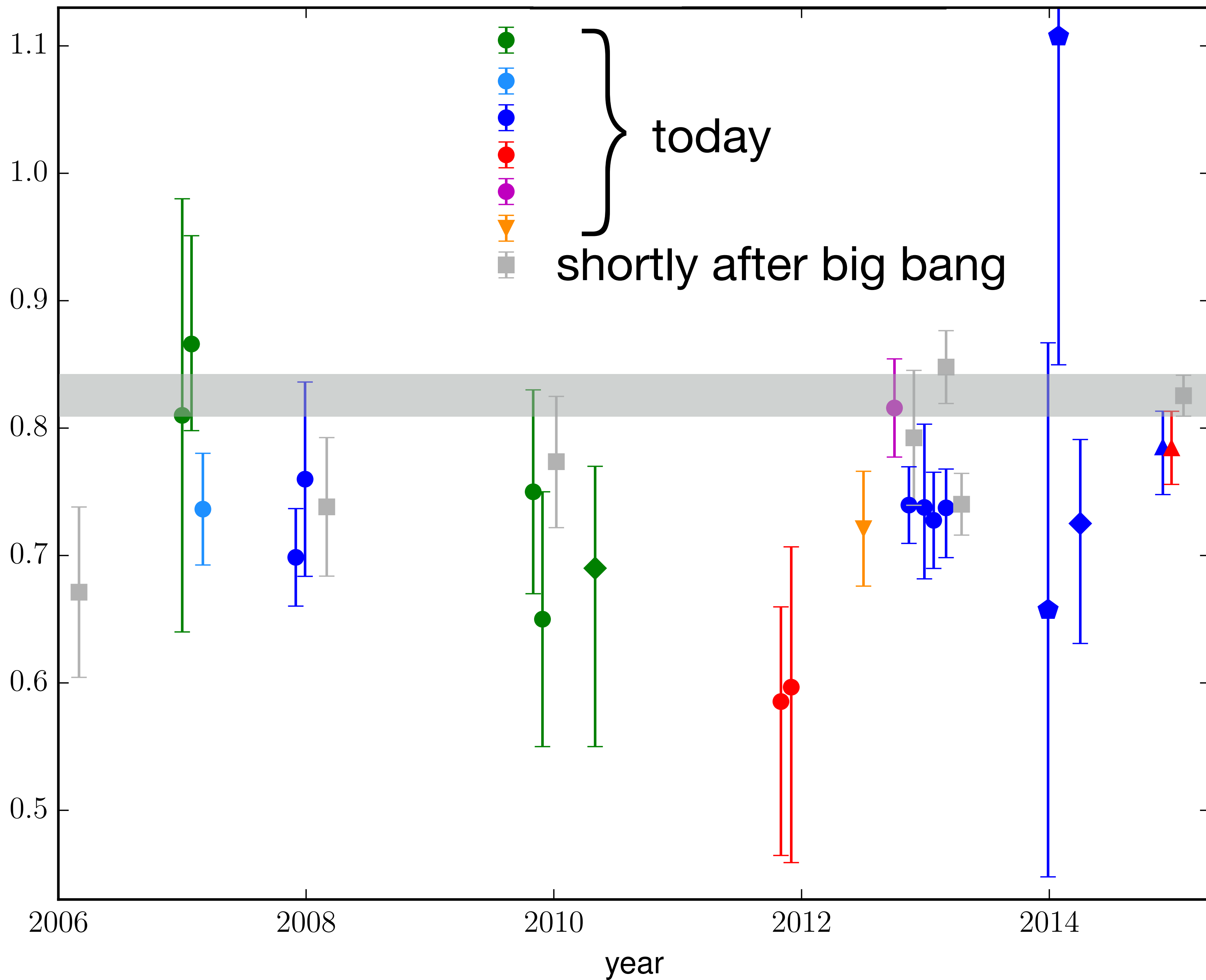
$$g(\chi) = \int_{\chi}^{\chi_h} d\chi' p_{\chi}(\chi') \frac{f_K(\chi' - \chi)}{f_K(\chi')}$$

No galaxy biasing on this slide! Cosmic shear typically goes to **small scales**.



- Measures the **amount** of **clustered** matter
- Also: Dark energy

Position of banana

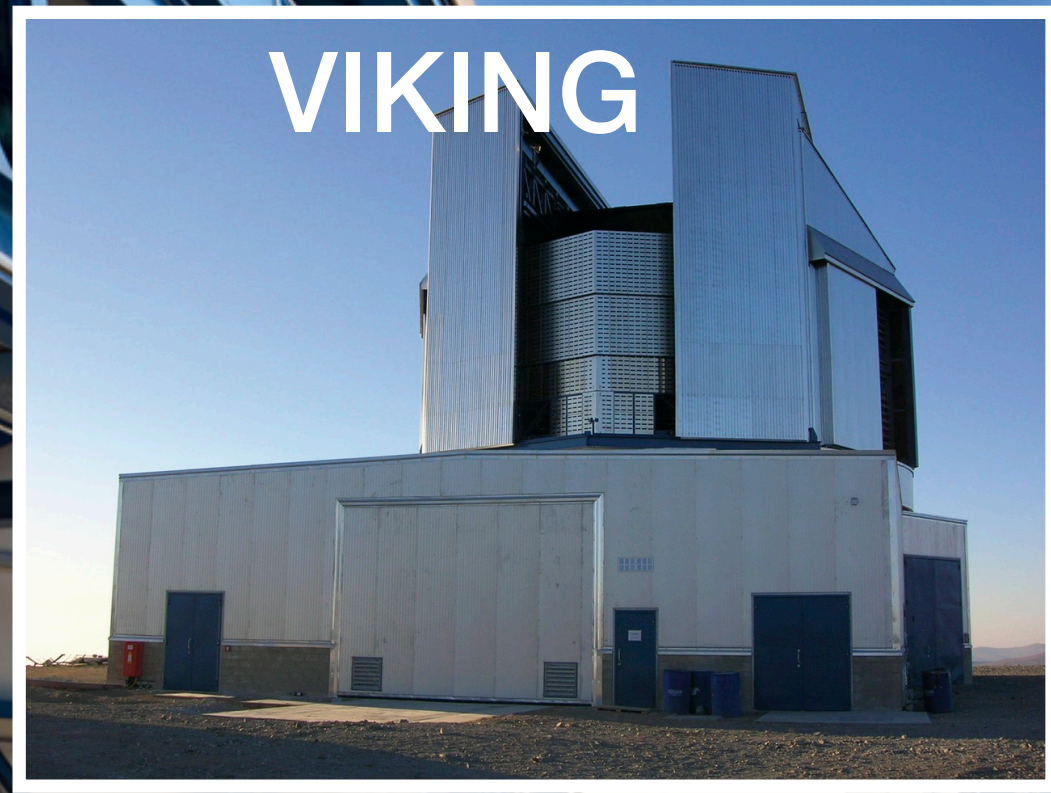


Systematic challenges

- Observational
 - Shape measurements
 - Redshift distributions
- Theoretical
 - Intrinsic alignments
 - Baryon feedback
- Psychological

Stage III Surveys

HSC: Hyper-Suprime Cam Survey



100s of millions of galaxies each!

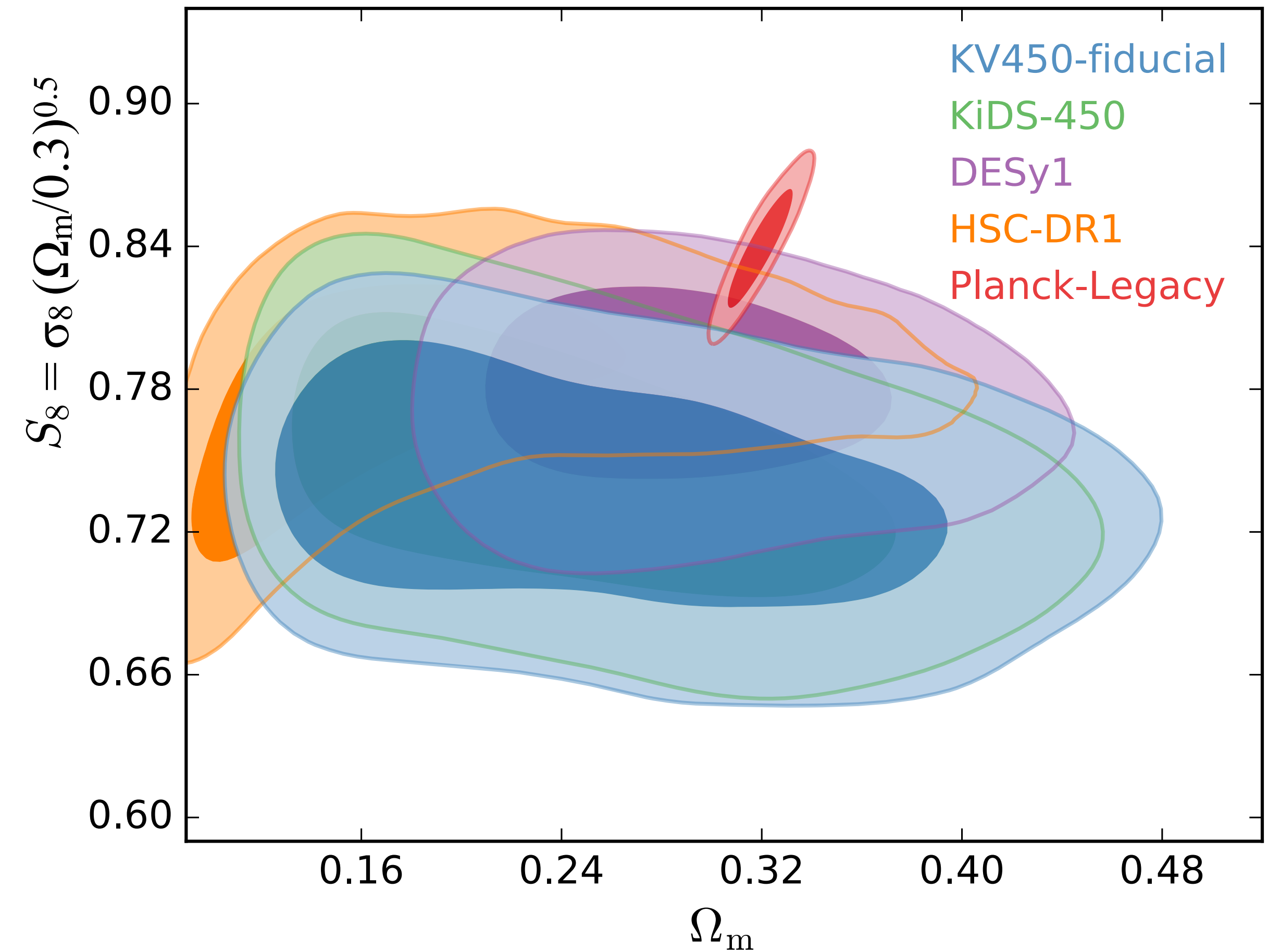
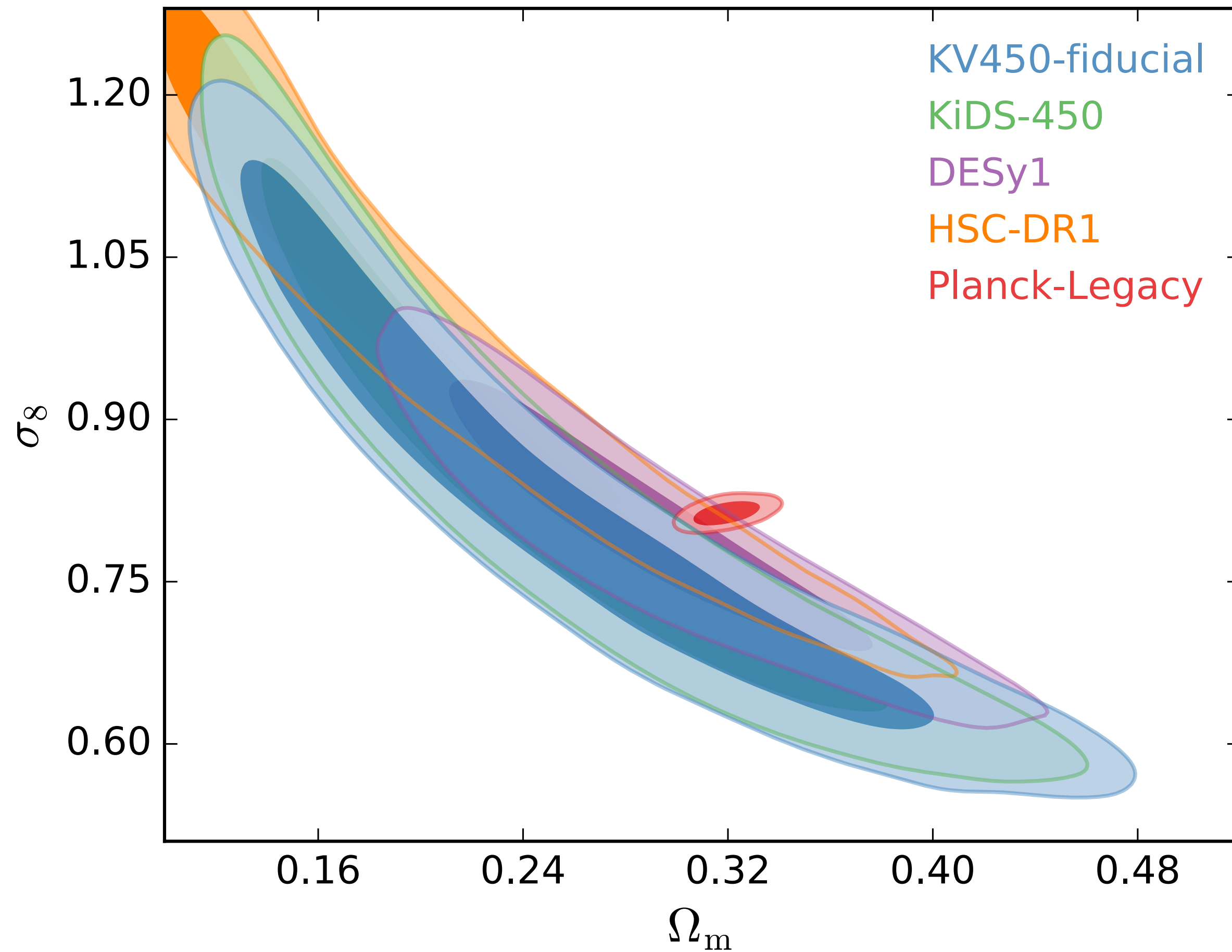


KiDS: Kilo Degree Survey



DES: Dark Energy Survey

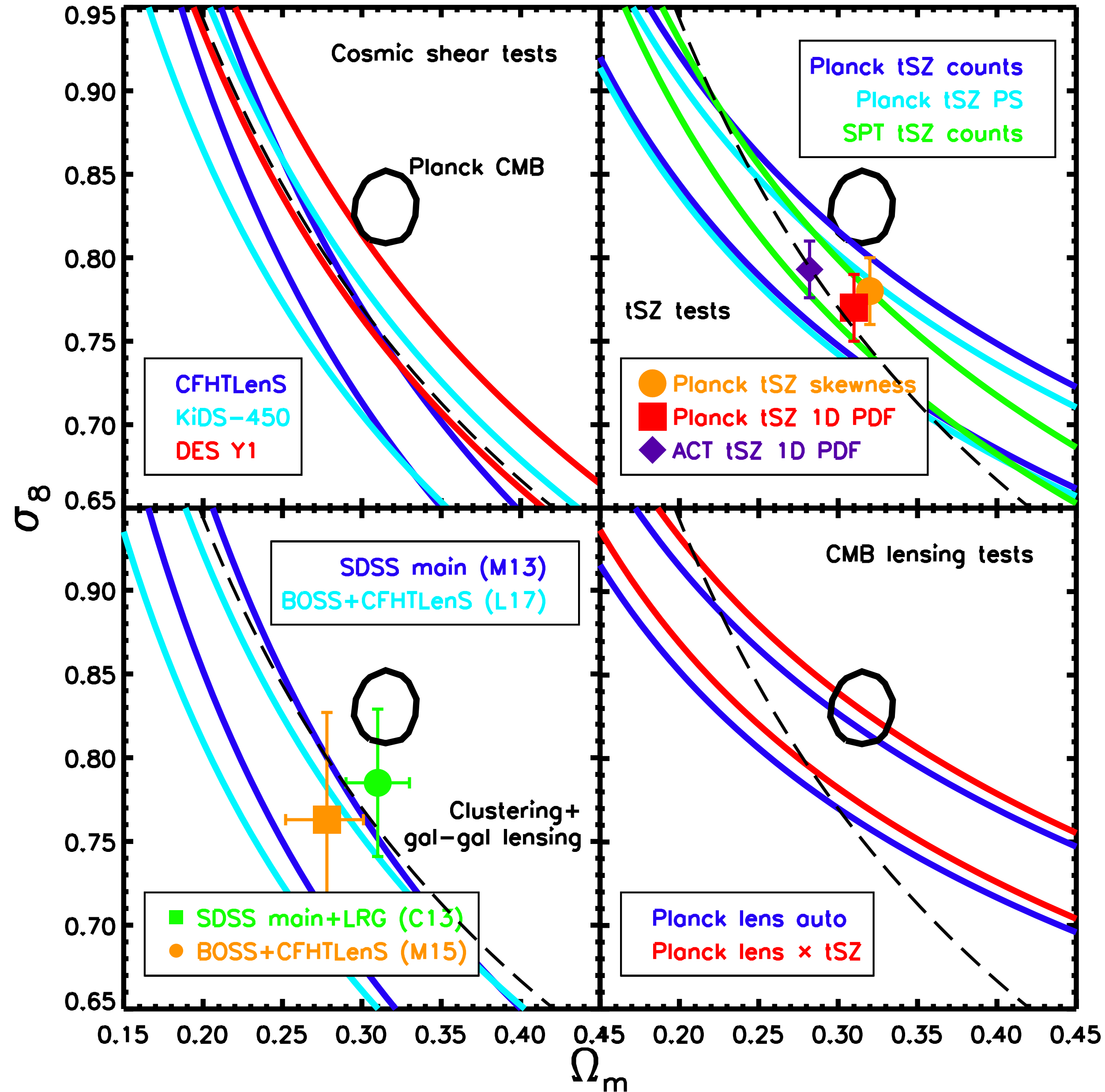
Cosmic shear before Covid-19



Agreement of WL measurements. All lower than Planck.

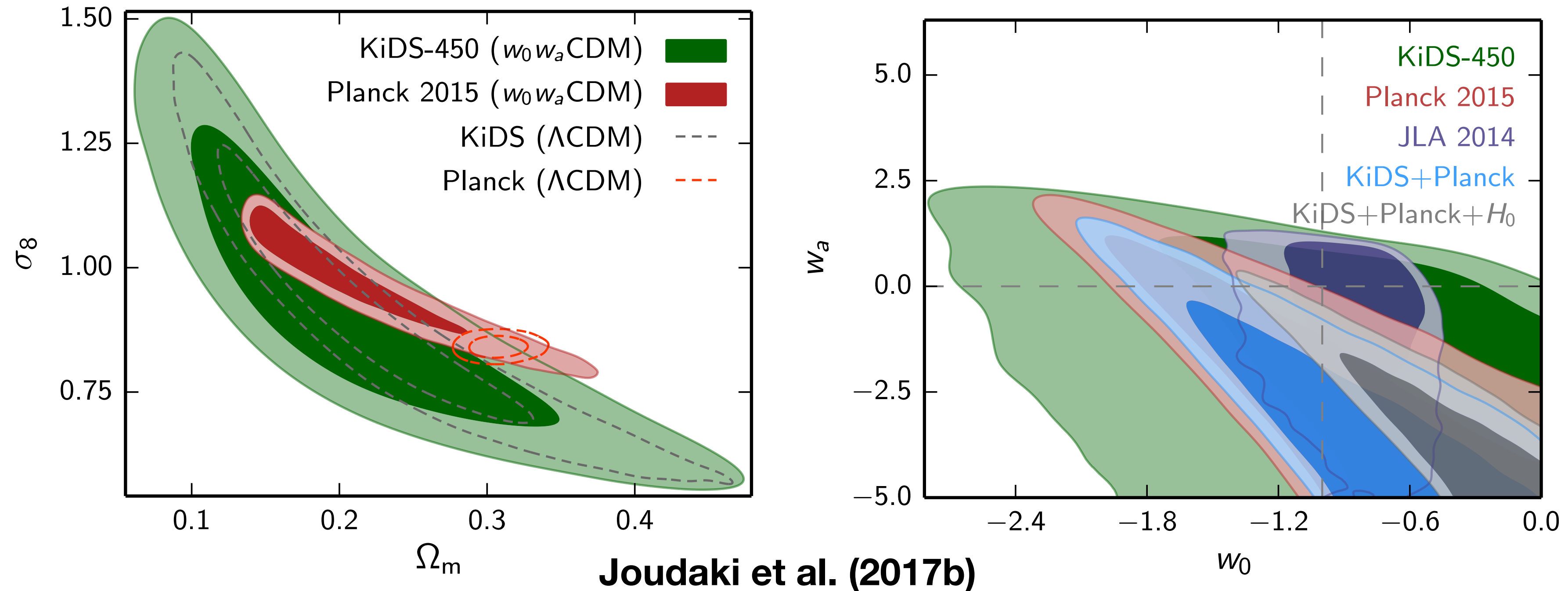
HSC-DR1: Hikage et al. (2019)
DES-Y1: Troxel et al. (2018a)
KiDS-VIKING-450: Hildebrandt et al. (2020)

Other probes



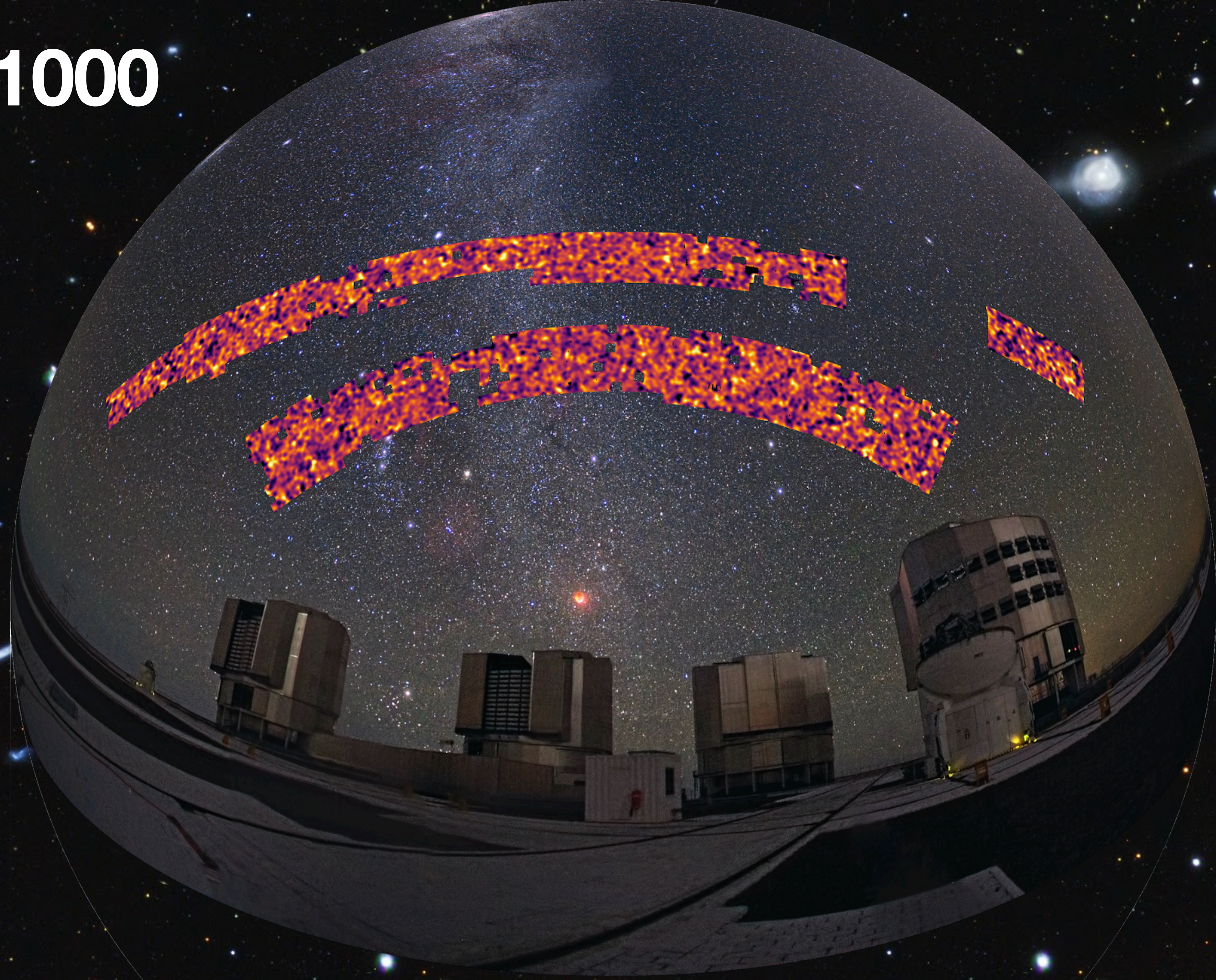
Not a single late Universe LSS measurement yields an S_8 higher than Planck.

Evolving dark energy

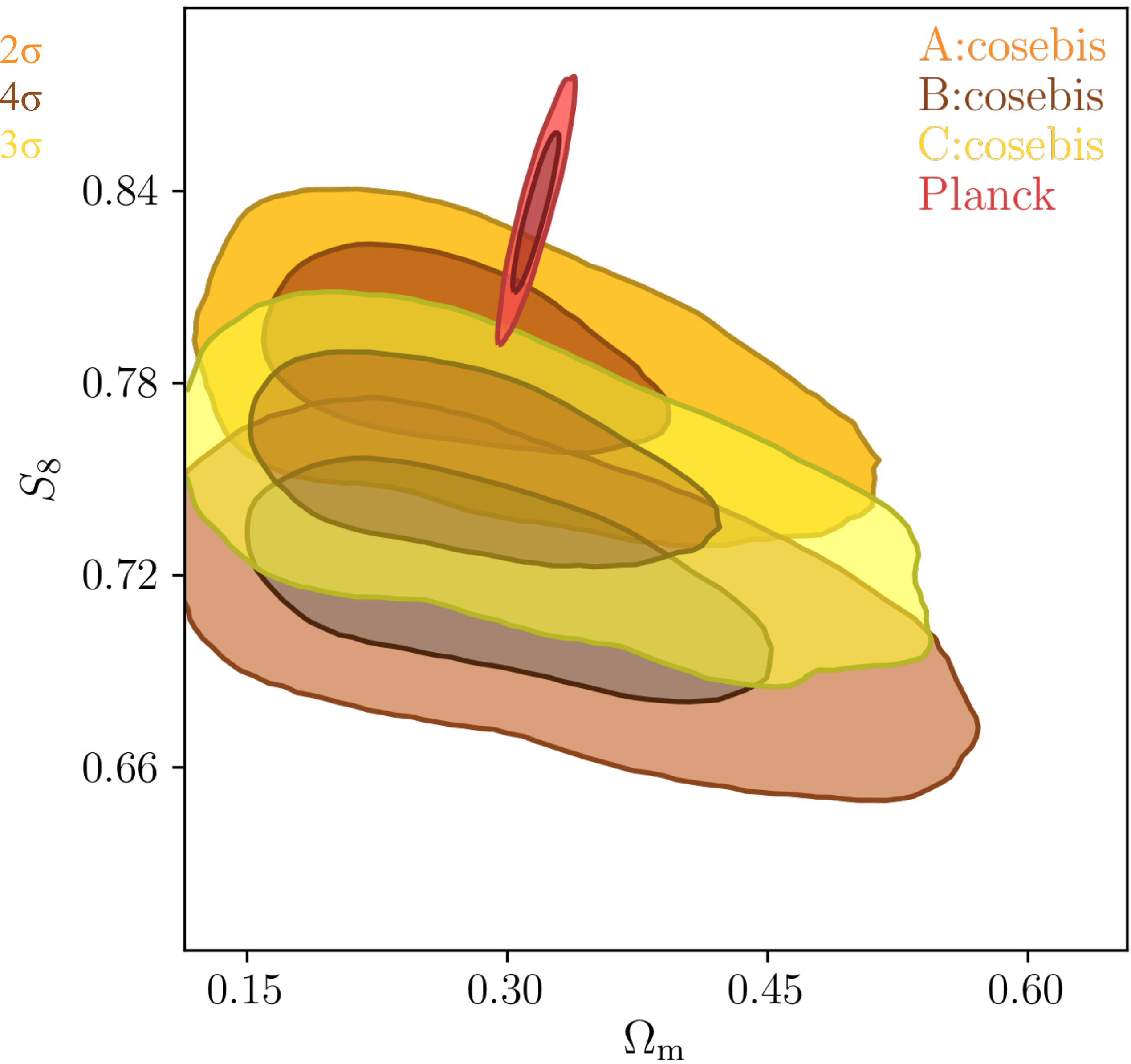
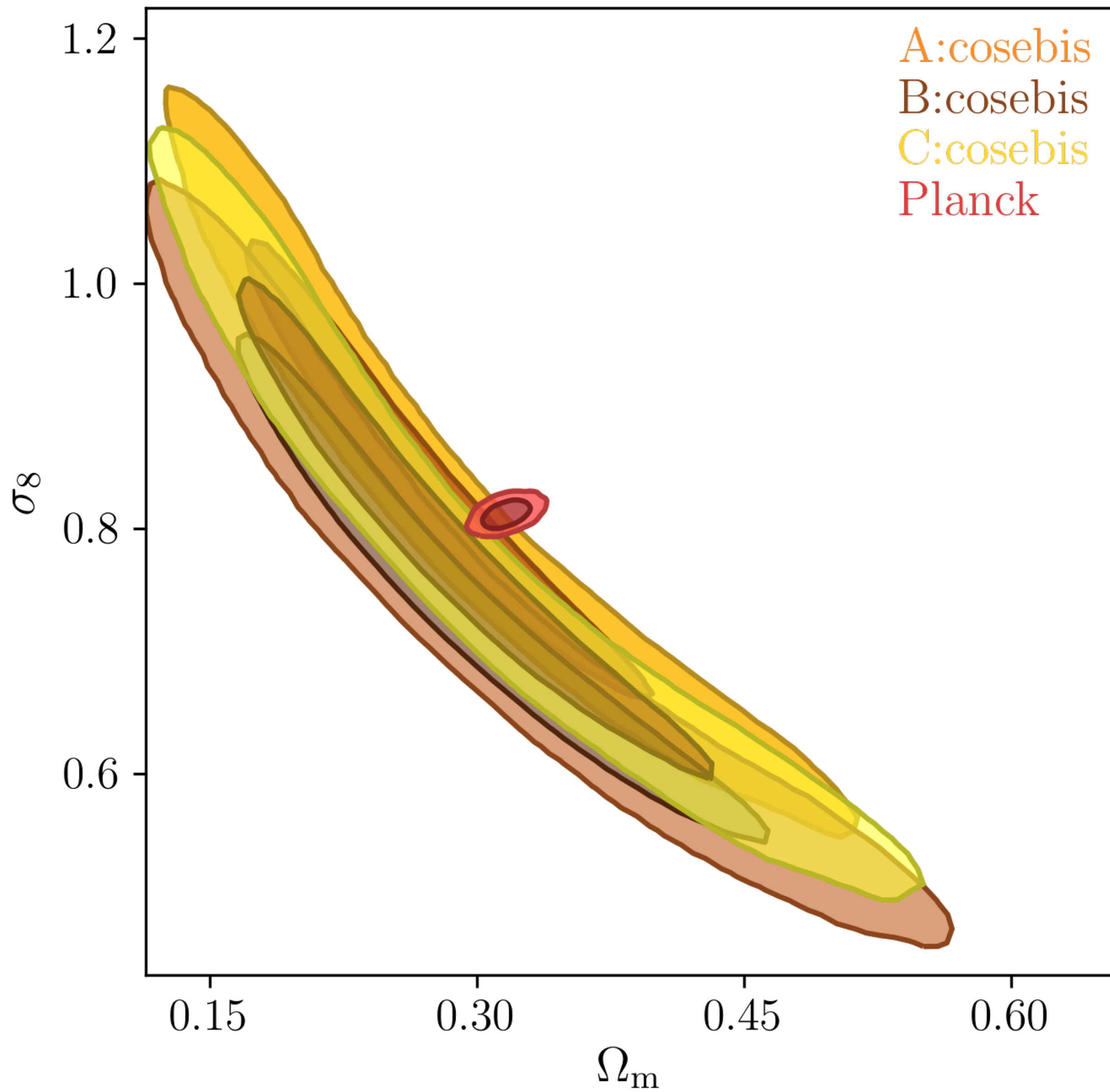


- Resolves tension between KiDS and Planck.
- Only extension that is moderately favoured by the data.
- Resolves H_0 tension between SH₀ES and Planck.

KIDS-1000

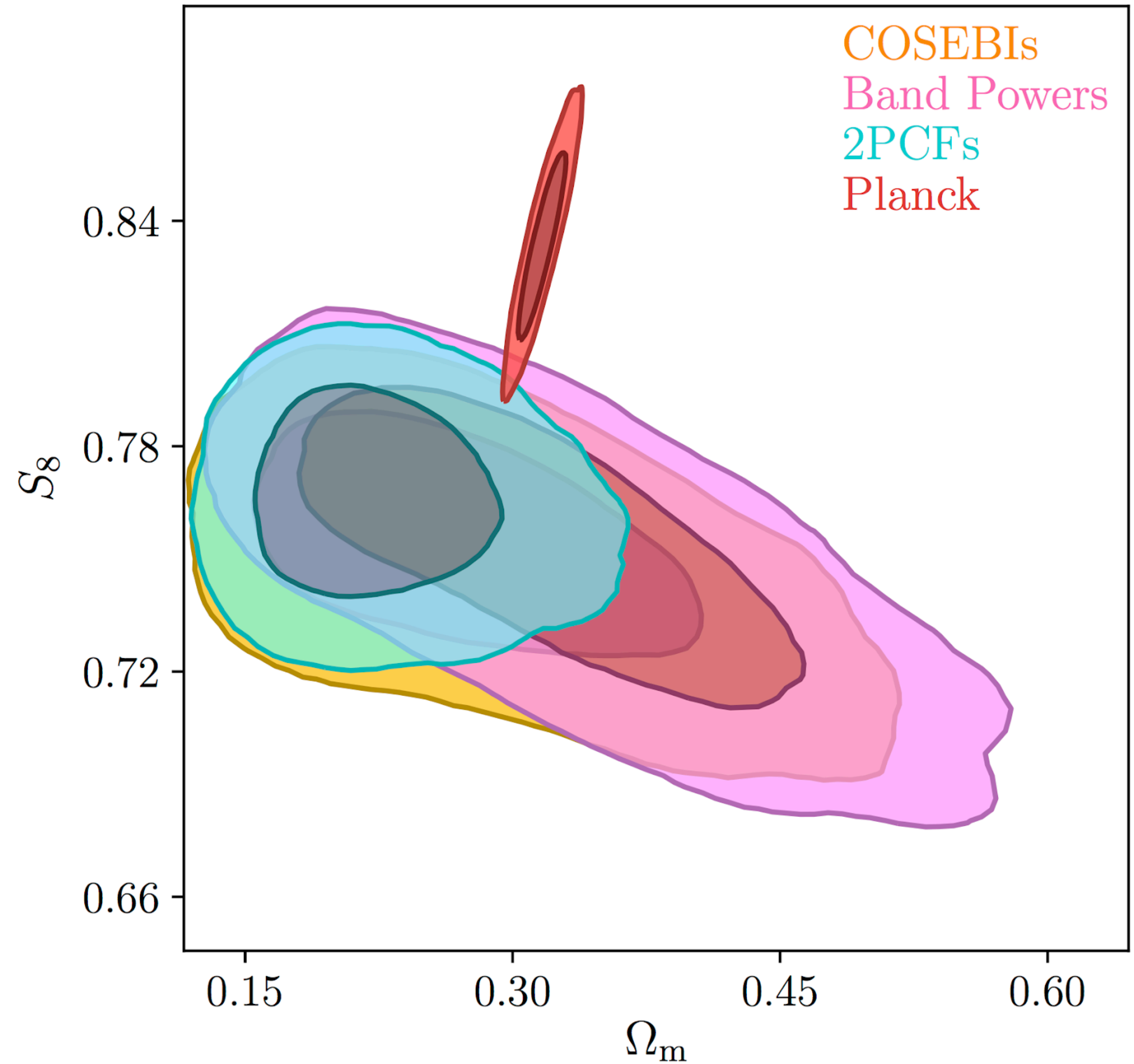
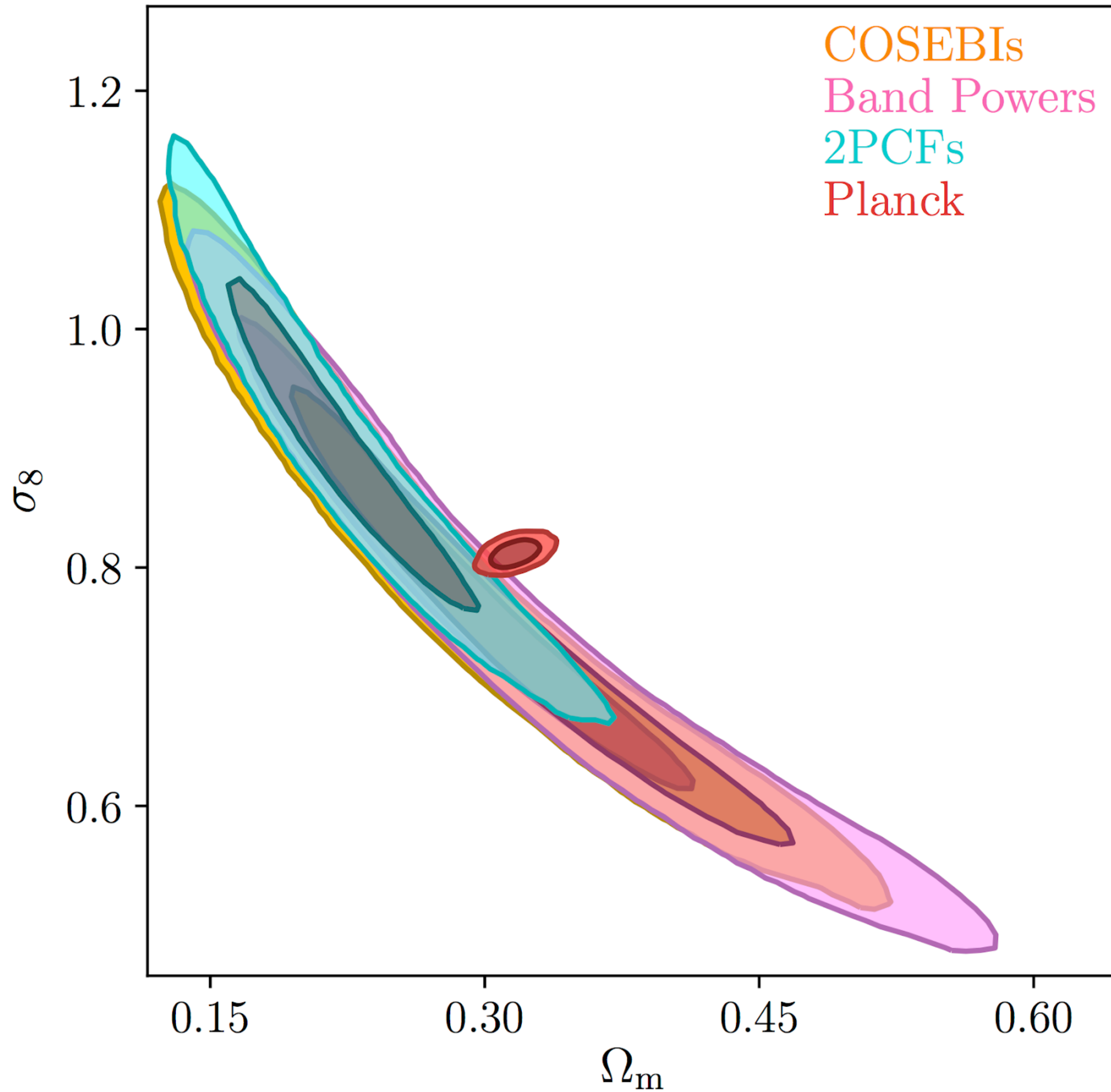


Blinding





Cosmological constraints



1. KiDS-1000 COSEBIs



2. KiDS-1000 band power



3. KiDS-1000 2PCFs



4. KV450 gold (Wright et al. 2020)



5. KV450+DES-Y1 (Asgari et al. 2020)



6. DES-Y1 (Troxel et al. 2018)



7. HSC-Y1 (Hikage et al. 2019)



8. Planck 2018 TT,TE,EE+lowE

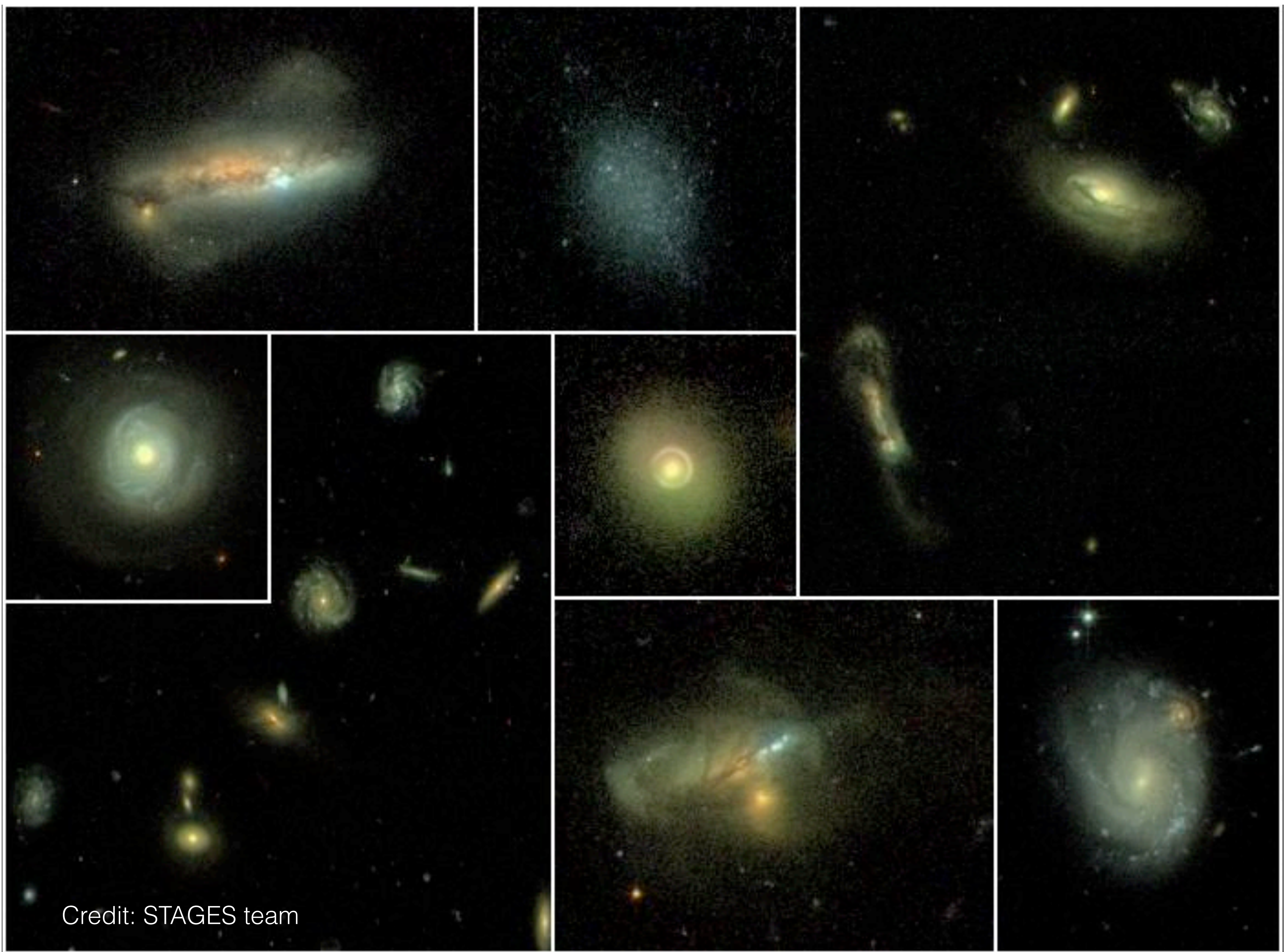


$$S_8 \equiv \sigma_8 (\Omega_m / 0.3)^{0.5}$$

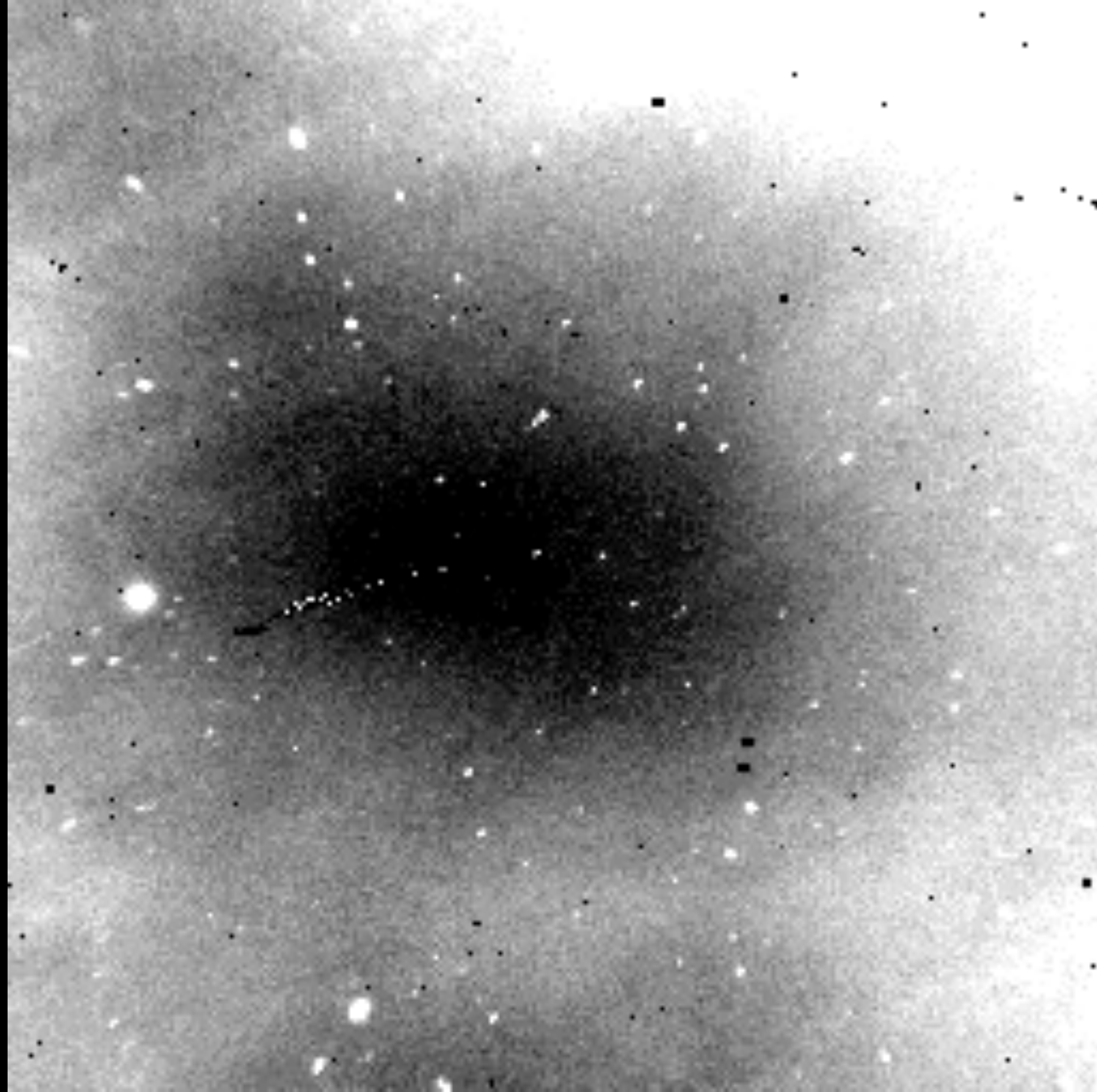
0.65 0.70 0.75 0.80 0.85



Credit: STAGES team



Credit: STAGES team



- Total mass satellite:

2200 kg

- Dimensions:

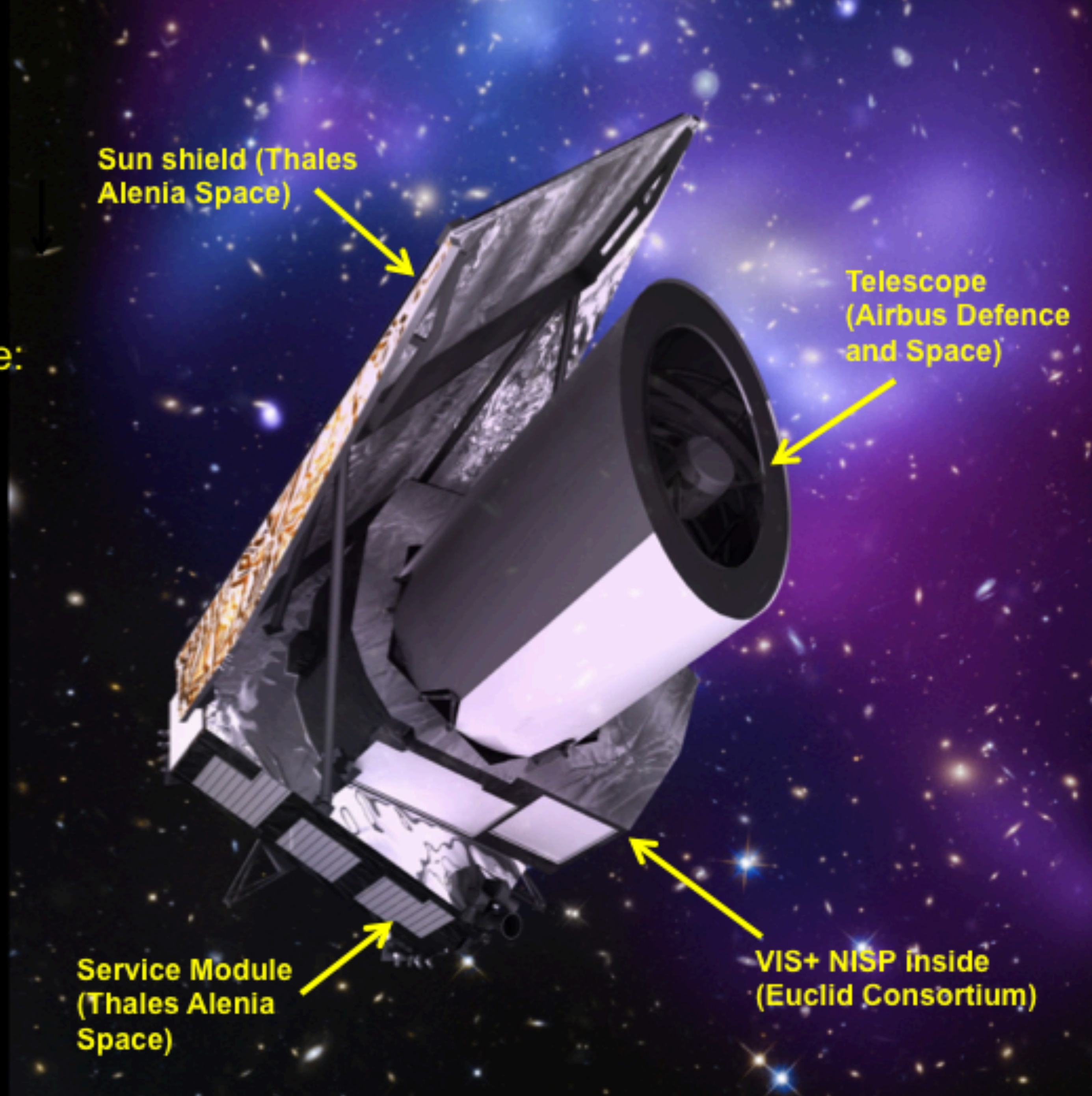
4,5 m x 3 m

Sun shield (Thales Alenia Space)

Telescope (Airbus Defence and Space)

Service Module (Thales Alenia Space)

VIS+ NISP inside (Euclid Consortium)



Summary

- Normal matter makes up only 5% of the energy density of the Universe.
- Dark matter can be made visible with gravitational lensing.
- What is dark energy? Cosmological constant?
- Discrepancies in current data (H_0 , S_8) might be hints to a solution.
- ESA's Euclid satellite will launch in 2022 and solve this riddle.